

PAHO



Pan American
Health
Organization



World Health
Organization
REGIONAL OFFICE FOR THE Americas

OPS



Organización
Panamericana
de la Salud



Organización
Mundial de la Salud
ORGANIZACIÓN PARA LAS Américas



Weekly / Semanal

2023

Influenza and ORV Report EW 2 / Reporte de Influenza y OVR SE 2

Data as of 20 January 2023 – Datos hasta el 20 de enero del 2023



Regional Update: Influenza and Other Respiratory Viruses / Actualización Regional: Influenza y otros virus respiratorios



WEEKLY REPORT DATA SOURCES

The information presented in this update is based on data provided by Ministries of Health and National Influenza Centers of Member States to the global informatics platforms FluNet and FluID; and reports/weekly bulletins that Ministries of Health published on its website or shared with PAHO/WHO.

Compared to the same period of the previous years, the current influenza surveillance data should be interpreted in light of the ongoing COVID-19 pandemic, which may have influence, to differing extents, health seeking behaviors, staffing/routines in sentinel sites, and testing capacities in Member States.

Due to the end-of-the-year holidays, under-reporting may affect the data below.

© Pan American Health Organization, 2023

Some rights reserved. This work is available under license CC BY-NC-SA 3.0 IGO.

La información presentada en esta actualización se obtiene a partir de los datos notificados por los Ministerios de Salud y los Centros Nacionales de Influenza de los Estados Miembros a las plataformas informáticas globales de la OPS/OMS: FluNet y FluID; y de los informes/boletines semanales que los Ministerios de Salud publican en sus páginas web o comparten con la OPS/OMS.

En comparación con el mismo período de los años anteriores, los datos actuales de vigilancia de la influenza deben interpretarse a la luz de la pandemia de COVID-19 en curso, que puede tener influencia en diferentes grados, comportamientos de búsqueda de salud, personal / rutinas en sitios centinela, y capacidades de prueba en los Estados Miembros.

Debido a las vacaciones de fin de año, el subregistro puede afectar los datos a continuación.

© Organización Panamericana de la Salud, 2023

Algunos derechos reservados. Esta obra está disponible en virtud de la licencia CC BY-NC-SA 3.0 IGO.

PAHO interactive data / Datos interactivos de la OPS:

PAHO FluNet: http://ais.paho.org/php/viz/ed_flu.asp

PAHO FluID: <http://ais.paho.org/php/viz/flumart2015.asp>

Influenza Situation Report / Informe de situación de influenza

In English: <https://www.paho.org/hq/influenzareport>

En español: www.paho.org/reportesinfluenza

Severe acute respiratory infections network – SARI_{net} plus

Red de las infecciones respiratorias agudas graves – SARI_{net} plus

<http://www.sarinet.org>

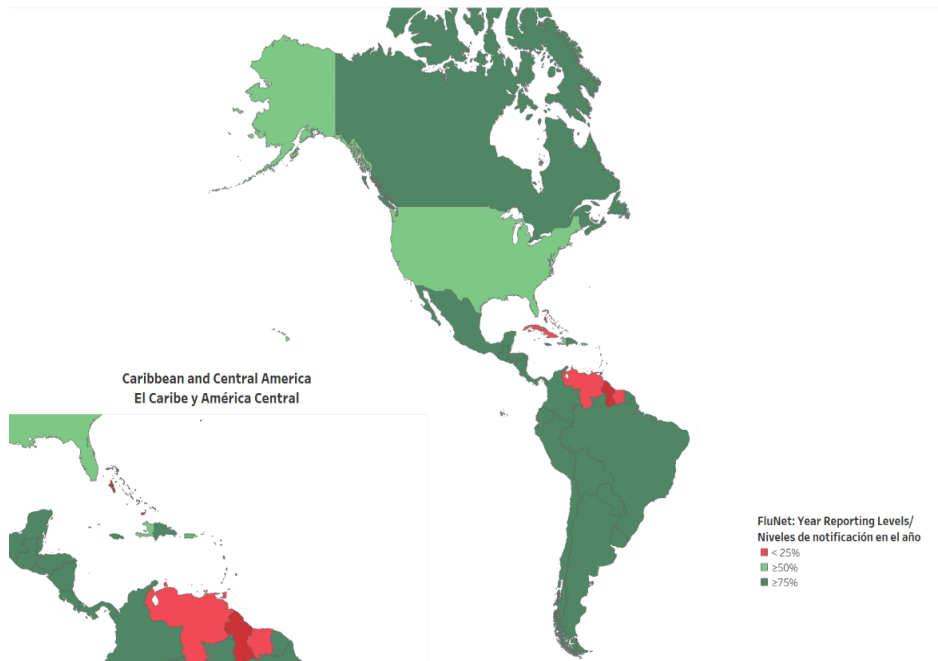
[Go to Index / Ir al Índice](#)



Influenza and ORV Report EW 2 2023 / Reporte de influenza y OVR SE 2 2023

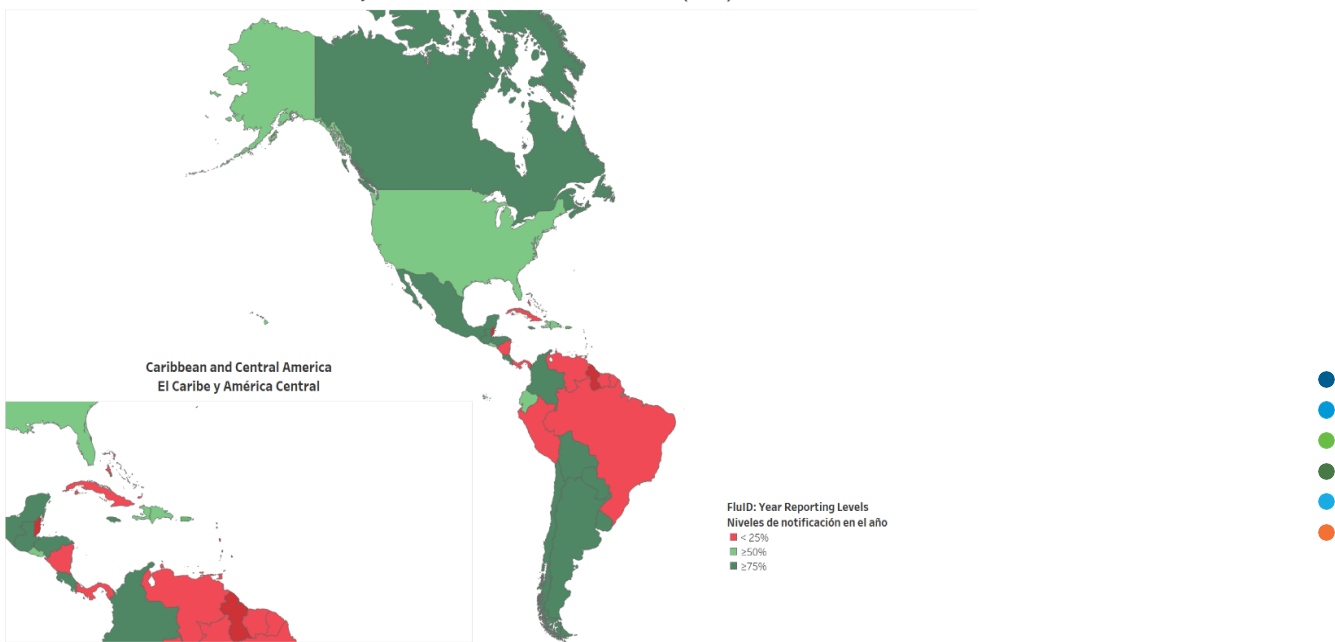
FluNet

Reporting percentage to FluNet during 2023 (EW 2)
Porcentaje de notificación a FluNet en el 2023 (SE 2)



fluID

Reporting Percentage to fluID during 2023 (EW 2)
Porcentaje de notificación a fluID en el 2023 (SE 2)



REPORT INDEX ÍNDICE DE LA ACTUALIZACIÓN

Weekly summary	5
Resumen semanal	6
Influenza Global Update 437 / Actualización de influenza a nivel mundial 437	7
Regional summary - Overall influenza and RSV circulation / Resumen regional - Circulación general de los virus influenza y VRS.....	9
Overall other respiratory virus circulation and SARS-CoV-2 variants of concern / Circulación general de otros virus respiratorios y variantes de preocupación del SARS-CoV-2	10
Weekly and cumulative numbers / Números semanales y acumulados:	11
Epidemiological and virologic updates by country / Actualización epidemiológica y virológica por país	13
North America / América Del Norte.....	14
Caribbean / Caribe	18
Central America / América Central	27
South America / América Del Sur – Andean Countries / Países Andinos	34
South America / América Del Sur / South Cone And Brazil / Cono Sur Y Brasil	39
Technical note / Nota técnica	45
Acronyms.....	46
Acrónimos	46





WEEKLY SUMMARY

North America: Influenza activity was low and continues to decline in the subregion. Influenza A(H3N2) predominated with the co-circulation of A(H1N1)pdm09 and B/Victoria. The SARS-CoV-2 activity was elevated, while RSV activity decreases with country and subregional differences. In [Canada](#), influenza activity has decreased; surveillance indicators continued within expected levels. In [Mexico](#), influenza activity was above expected levels, with low severity indicators. In the [United States](#), influenza activity declined at low-intensity levels, with the percentage of deaths due to pneumonia, influenza, and COVID-19 above the average of previous seasons. RSV activity continued decreasing.

Caribbean: Influenza activity continued moderate in the subregion with B/Victoria virus predominance, with A(H1N1)pdm09 and A(H3N2) cocirculation. Influenza activity was elevated in [Belize](#) and the [French Territories](#). The SARS-CoV-2 activity was moderate overall, while RSV activity was at baseline levels.

Central America: Influenza activity was moderate, with influenza A and B virus detections and B/Victoria predominance. Influenza activity was elevated in [Guatemala](#), with influenza B/Victoria predominance. Overall, SARS-CoV-2 percent positivity decreased in the subregion; increased percent positivity was reported in [Honduras](#) and [Panama](#). RSV activity remained raised in [Guatemala](#) and [Panama](#).

Andean: Influenza activity was low, with the predominance of influenza B/Victoria and co-circulation of influenza A(H3N2) and A(H1N1)pdm09. Influenza activity was elevated in [Bolivia](#), with increased SARI activity at moderate-intensity levels. In [Ecuador](#), SARS-CoV-2 was elevated but decreasing. In the subregion, RSV activity was low overall.

Brazil and Southern Cone: Influenza activity was low, with all seasonal subtypes detected. The SARS-CoV-2 activity was elevated across the subregion but with a decreasing trend in some countries. Increased RSV activity continued to be reported in [Brazil](#) and [Chile](#).

Global: Influenza activity remained elevated due to activity in the northern hemisphere. Where subtyped, influenza A viruses predominated, with a slightly larger proportion of A(H3N2) viruses detected among the subtyped influenza A viruses. In Europe, overall influenza activity continued to increase, with influenza positivity from sentinel sites remaining above the epidemic threshold at the regional level. Influenza A viruses predominated with A(H3N2) viruses accounting for most subtyped influenza viruses from sentinel sites but with regional differences. Half of reporting countries signaled high or very high intensity. In central Asia, influenza activity increased with influenza A(H1N1)pdm09 viruses predominant, followed by influenza B viruses. In Northern Africa, influenza detections increased among reporting countries with all seasonal subtypes detected. In Western Asia, influenza activity decreased overall with all seasonal influenza subtypes detected, though increased activity was reported in some countries in the transmission zone. In East Asia, influenza activity of predominantly influenza A(H3N2) viruses remained low overall among reporting countries but with increases reported in Mongolia and the Republic of Korea. In tropical Africa, influenza activity remained low, with detections of all seasonal influenza subtypes reported. However, activity increased in some countries in Eastern Africa. In Southern Asia, influenza activity remained low, mainly due to decreased activity reported in Iran (Islamic Republic of). Influenza A(H1N1)pdm09 was the most frequently detected subtype in the subregion. In South-East Asia, detections of predominantly influenza B remained elevated due to continued detections reported in Malaysia.

SARS-CoV-2 positivity from sentinel surveillance decreased globally, notably in the WHO Region of the Americas, from over 30% to just above 20%. In the Western Pacific Region, positivity decreased slightly and remained around 20%. Activity remained under 10% in the other regions. SARS-CoV-2 positivity from non-sentinel surveillance decreased significantly in the Region of the Americas and the Western Pacific region to approximately 20% and 10%, respectively, but increased in the African region to 15%.

Avian Influenza: A summary of the avian influenza situation in the region, case management and recommendations are available at [Epidemiological alerts and updates | PAHO/WHO | Pan American Health Organization \(paho.org\)](#)





RESUMEN SEMANAL

América del Norte: en la subregión la actividad de la influenza estuvo baja y continúa disminuyendo. Predominó influenza A(H3N2) con circulación concurrente de A(H1N1)pdm09 y B/Victoria. La actividad del SARS-CoV-2 continúa elevada, mientras que la actividad del VRS disminuye con diferencias entre países y subregiones. En Canadá, la actividad de la influenza ha disminuido; los indicadores de vigilancia continuaron dentro de los niveles esperados. En México, la actividad de la influenza estuvo por encima de los niveles esperados, con indicadores de gravedad bajos. En los Estados Unidos, la actividad de la influenza disminuyó a niveles de baja intensidad, con el porcentaje de muertes por neumonía, influenza y la COVID-19 por encima del promedio de temporadas anteriores. La actividad del VRS continuó disminuyendo.

Caribe: la actividad de la influenza continuó moderada en la subregión con predominio de influenza B/Victoria y circulación concurrente de A(H1N1)pdm09 y A(H3N2). La actividad de la influenza estuvo elevada en Belice y en los Territorios franceses. La actividad del SARS-CoV-2 estuvo moderada en general, mientras que la actividad del VRS estuvo en los niveles basales.

América Central: la actividad de la influenza estuvo moderada, con detecciones de los virus influenza A y B y predominio de influenza B/Victoria. La actividad de la influenza estuvo elevada en Guatemala, con predominio de influenza B/Victoria. En general, el porcentaje de positividad del SARS-CoV-2 disminuyó en la subregión; se reportó un mayor porcentaje de positividad en Honduras y Panamá. La actividad del VRS se mantuvo elevada en Guatemala y Panamá.

Países Andinos: la actividad de influenza estuvo baja, con predominio de influenza B linaje Victoria y circulación concurrente de influenza A(H3N2) y A(H1N1)pdm09. La actividad de la influenza estuvo elevada en Bolivia, con una mayor actividad de IRAG en niveles de intensidad moderada. En Ecuador, la actividad del SARS CoV-2 estuvo elevada, pero con una tendencia a disminuir. En la subregión, la actividad del VRS estuvo baja en general.

Brasil y Cono Sur: la actividad de la influenza estuvo baja, con la detección de todos los subtipos estacionales. La actividad del SARS-CoV-2 estuvo elevada en toda la subregión, pero con una tendencia a la baja en algunos países. Brasil y Chile continuaron reportando un aumento de la actividad del VRS.

Global: la actividad de la influenza disminuyó pero se mantuvo elevada debido a la actividad en el hemisferio norte. Los virus de la influenza A predominaron con una proporción ligeramente mayor de virus A(H1N1)pdm09 (en muestras con subtipo determinado) durante el período del reporte. En Europa, la actividad de la influenza disminuyó, pero la positividad de la influenza en los sitios centinela se mantuvo por encima del umbral epidémico a nivel regional. En general, en los sitios centinela de atención primaria los virus de la influenza A predominaron, la mayoría fueron virus A(H3N2) (en muestras con subtipo determinado), pero con diferencias regionales. Muchos países informaron actividad de la influenza con intensidad alta o muy alta, y más de la mitad informaron de una actividad generalizada. Los indicadores de la actividad de la influenza (enfermedad tipo influenza (ETI), infección respiratoria aguda (IRA), infección respiratoria aguda grave (IRAG) y hospitalizaciones asociadas a la influenza disminuyeron en muchos países, mientras que otros hubo un aumento. En Asia central, la actividad de la influenza disminuyó, con predominio de influenza A(H1N1)pdm09, seguida de influenza B, pero con algunas diferencias en las tendencias por país. En el norte de África, las detecciones de influenza disminuyeron después de un pico en la semana 52, con todos los subtipos de influenza estacional detectados. En Asia occidental, la actividad de la influenza disminuyó y se detectaron todos los subtipos de influenza estacional, aunque con un aumento de la actividad en algunos países. En el este de Asia, la actividad de la influenza con predominio de influenza A(H3N2) se mantuvo baja, aunque con registro elevado de las detecciones en Mongolia y la República de Corea. En África tropical, la actividad de la influenza estuvo más alta en África oriental, pero se mantuvo baja durante todo el año con detecciones de todos los subtipos de influenza estacional reportados. En el sur de Asia, la actividad de la influenza estuvo baja y siguió disminuyendo, con predominio de influenza A(H1N1)pdm09, y circulación concurrente de influenza A(H3N2) e influenza B. En el sudeste asiático, las detecciones predominantemente de influenza B se mantuvieron elevadas debido a la detección continua del virus reportadas en Malasia. En las zonas templadas del hemisferio sur, la actividad de la influenza disminuyó y se ubicó en niveles bajos.

La positividad de SARS-CoV-2 (vigilancia centinela) disminuyó a nivel mundial, especialmente en la Región de las Américas, de más del 30% a un poco más del 20%. En la Región del Pacífico occidental, la positividad disminuyó levemente y se mantuvo alrededor del 20 %. La actividad se mantuvo por debajo del 10% en el resto de las regiones. La positividad de SARS-CoV-2 (vigilancia no centinela) disminuyó significativamente en la Región de las Américas y en la Región del Pacífico occidental a aproximadamente 20 % y 10 %, respectivamente, pero aumentó en la región de África al 15 %.



Influenza Aviar: el resumen sobre la situación epidemiológica de influenza aviar en la región, manejo de los casos y recomendaciones se encuentran disponibles en [Alertas y actualizaciones epidemiológicas | OPS/OMS | Organización Panamericana de la Salud \(paho.org\)](#)





Influenza Global Update 437 / Actualización de influenza a nivel mundial 437

23 January 2023 / 23 de enero de 2023

Based on data up to 8 January 2023 / datos al 8 de enero de 2023

Globally, influenza activity decreased but remained elevated due to activity in the northern hemisphere. Influenza A viruses predominated with a slightly larger proportion of A(H1N1)pdm09 viruses detected among the subtyped influenza A viruses during this reporting period. In Europe, overall influenza activity decreased, but influenza positivity from sentinel sites remained above the epidemic threshold at the regional level. Overall, influenza A viruses predominated with A(H3N2) viruses accounting for most subtyped influenza viruses from primary care sentinel sites but with regional differences. Many countries reported high or very high intensity, and more than half reported widespread activity. Indicators of influenza activity (influenza-like illness (ILI), acute respiratory infection (ARI), severe acute respiratory infection (SARI), and influenza-associated hospitalizations decreased in many countries while others reported increases. In central Asia, influenza activity decreased overall, with influenza A(H1N1)pdm09 viruses predominant, followed by influenza B viruses, but with some differences in trends by country. In Northern Africa, influenza detections decreased after a peak in week 52, with all seasonal influenza subtypes detected. In Western Asia, influenza activity decreased overall with all seasonal influenza subtypes detected, though increased activity was reported in some countries. In East Asia, influenza activity of predominantly influenza A(H3N2) viruses remained low overall though detections continued to be registered at elevated levels in Mongolia and the Republic of Korea. In tropical Africa, influenza activity was highest in eastern Africa but remained low overall, with detections of all seasonal influenza subtypes reported. In Southern Asia, influenza activity was low and continued to decrease, with influenza A(H1N1)pdm09 predominant, and influenza A(H3N2) and influenza B also reported. In South-East Asia, detections of predominantly influenza B remained elevated due to continued detections reported in Malaysia. In the temperate zones of the southern hemisphere, influenza activity decreased to low levels.

National Influenza Centers (NICs) and other national influenza laboratories from 122 countries, areas, or territories reported data to FluNet from 26 December 2022 to 8 January 2023. The WHO GISRS laboratories tested more than 563 948¹ specimens during that period. A total of 84 596 specimens were positive for influenza viruses, of which 79 268 (93.7%) were typed as influenza A and 5328 (6.3%) as influenza B. Of the sub-typed influenza A viruses, 8225 (51.9%) were influenza A(H1N1)pdm09, and 7621 (48.1%) were influenza A(H3N2). Of the characterized B viruses, all 394 (100.0%) belonged to the B/Victoria lineage.

Full information available online in the following WHO site: [Latest influenza update](#)

A nivel mundial, la actividad de la influenza disminuyó pero se mantuvo elevada debido a la actividad en el hemisferio norte. Los virus de la influenza A predominaron con una proporción ligeramente mayor de virus A(H1N1)pdm09 (en muestras con subtipo determinado) durante el período del reporte. En Europa, la actividad de la influenza disminuyó, pero la positividad de la influenza en los sitios centinela se mantuvo por encima del umbral epidémico a nivel regional. En general, en los sitios centinela de atención primaria los virus de la influenza A predominaron, la mayoría fueron virus A(H3N2) (en muestras con subtipo determinado), pero con diferencias regionales. Muchos países informaron actividad de la influenza con intensidad alta o muy alta, y más de la mitad informaron de una actividad generalizada. Los indicadores de la actividad de la influenza (enfermedad tipo influenza (ETI), infección respiratoria aguda (IRA), infección respiratoria aguda grave (IRAG) y hospitalizaciones asociadas a la influenza disminuyeron en muchos países, mientras que otros hubo un aumento. En Asia central, la actividad de la influenza disminuyó, con predominio de influenza A(H1N1)pdm09, seguida de influenza B, pero con algunas diferencias en las tendencias por país. En el norte de África, las detecciones de influenza disminuyeron después de un pico en la semana 52, con todos los subtipos de influenza estacional detectados. En Asia occidental,



¹ It includes data only from countries reporting on positive and negative influenza specimens. Incluye datos únicamente de países que notifican muestras positivas y negativas para influenza.

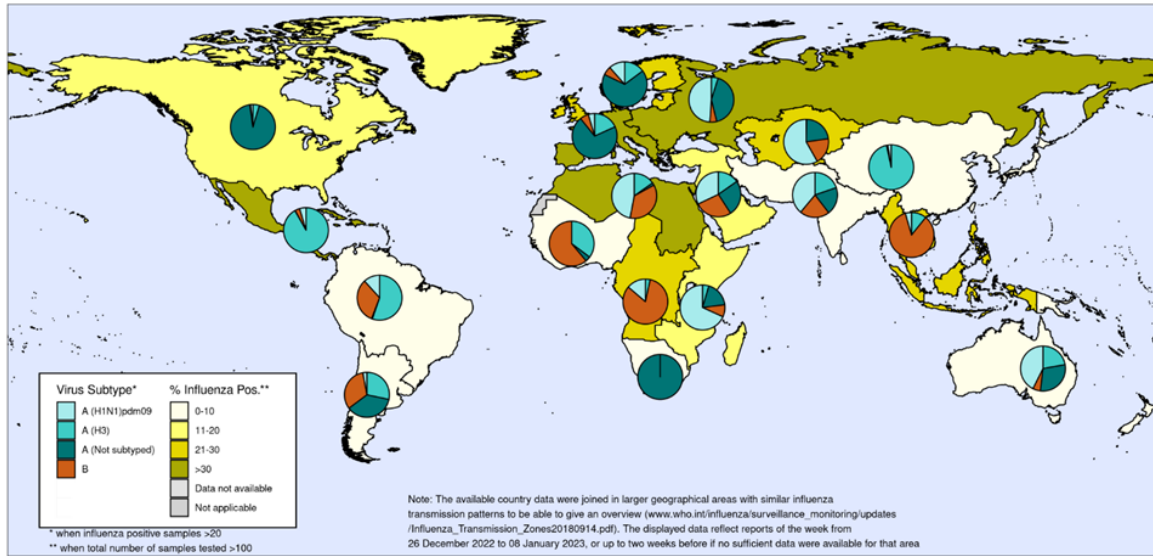


la actividad de la influenza disminuyó y se detectaron todos los subtipos de influenza estacional, aunque con un aumento de la actividad en algunos países. En el este de Asia, la actividad de la influenza con predominio de influenza A(H3N2) se mantuvo baja, aunque con registro elevado de las detecciones en Mongolia y la República de Corea. En África tropical, la actividad de la influenza estuvo más alta en África oriental, pero se mantuvo baja durante todo el año con detecciones de todos los subtipos de influenza estacional reportados. En el sur de Asia, la actividad de la influenza estuvo baja y siguió disminuyendo, con predominio de influenza A(H1N1)pdm09, y circulación concurrente de influenza A(H3N2) e influenza B. En el sudeste asiático, las detecciones predominantemente de influenza B se mantuvieron elevadas debido a la detección continua del virus reportadas en Malasia. En las zonas templadas del hemisferio sur, la actividad de la influenza disminuyó y se ubicó en niveles bajos.

Los Centros Nacionales de Influenza (CNI) y otros laboratorios nacionales de influenza de 122 países, áreas o territorios reportaron sus datos a FluNet para el período comprendido entre el 26 de diciembre de 2022 y el 8 de enero de 2023. Los laboratorios GISRS de la OMS analizaron más de 563 948¹ muestras durante ese período. Un total de 84 596 muestras resultaron positivas para los virus de la influenza, de las cuales 79 268 (93,7 %) se tipificaron como influenza A y 5328 (6,3 %) como influenza B. De los virus influenza A, a los cuales se les identificó el subtipo, 8225 (51,9 %) fueron influenza A(H1N1)pdm09 y 7621 (48,1 %) fueron influenza A(H3N2). De los virus influenza B caracterizados, todos los 394 (100,0 %) correspondieron al linaje Victoria.

Información completa disponible en línea en el siguiente sitio de la OMS: [Última actualización sobre la gripe](#)

Percentage of respiratory specimens that tested positive for influenza-by-influenza transmission zone. Map generated on 20 January 2023 / Porcentaje de muestras respiratorias que resultaron positivas para influenza por zona de transmisión de influenza. Mapa producido el 20 de enero de 2023



The boundaries and names shown and the designations used on this map do not imply the expression of any opinion whatsoever on the part of the World Health Organization concerning the legal status of any country, territory, city or area or of its authorities, or concerning the delimitation of its frontiers or boundaries. Dotted and dashed lines on maps represent approximate border lines for which there may not yet be full agreement.

Data source: Global Influenza Surveillance and Response System (GISRS), FluNet ([www.who.int/flu](#))
Copyright WHO 2023. All rights reserved.





REGIONAL SUMMARY / RESUMEN REGIONAL

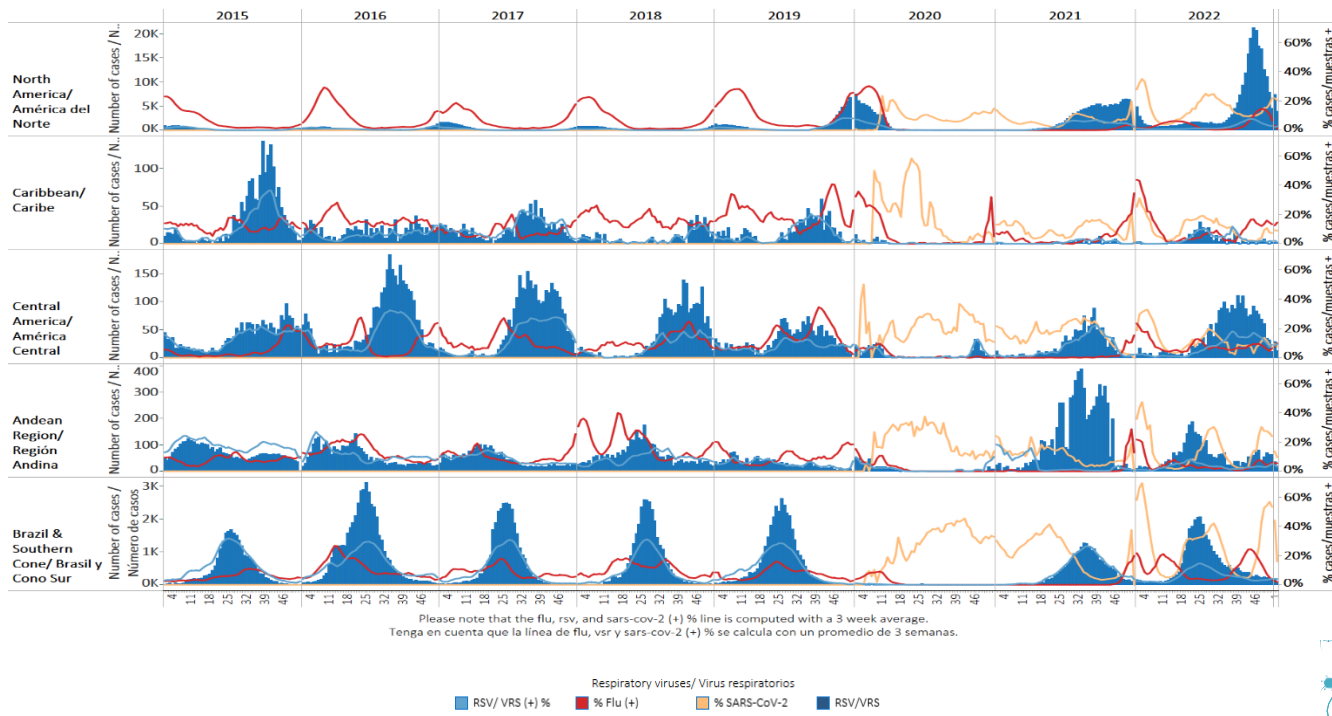
Influenza circulation by subregion, 2015-2023

Circulación virus influenza por subregión, 2015-2023



Respiratory syncytial virus (RSV) circulation by Subregion, 2015-2023

Circulación virus respiratorio sincitial (VRS) por subregión, 2015-2023





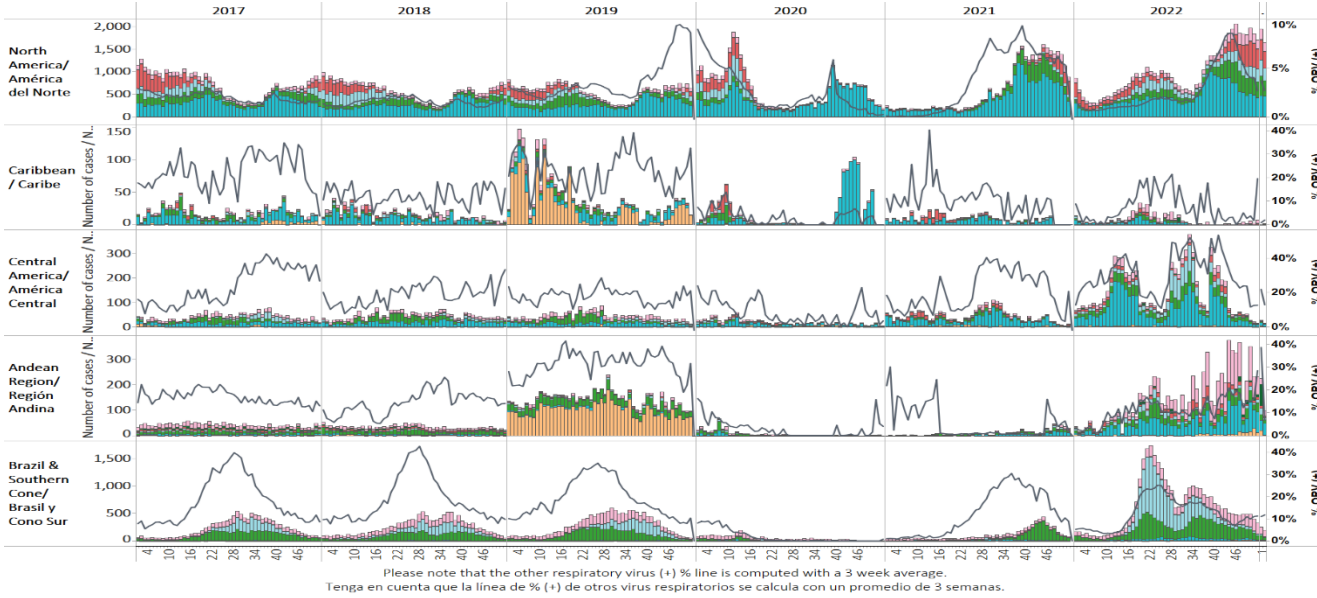
REGIONAL SUMMARY / RESUMEN REGIONAL

Weekly / Semanal

10

Other respiratory viruses (ORV) circulation by subregion, 2017-2023

Circulación de otros virus respiratorios (OVR) por subregión, 2017-2023

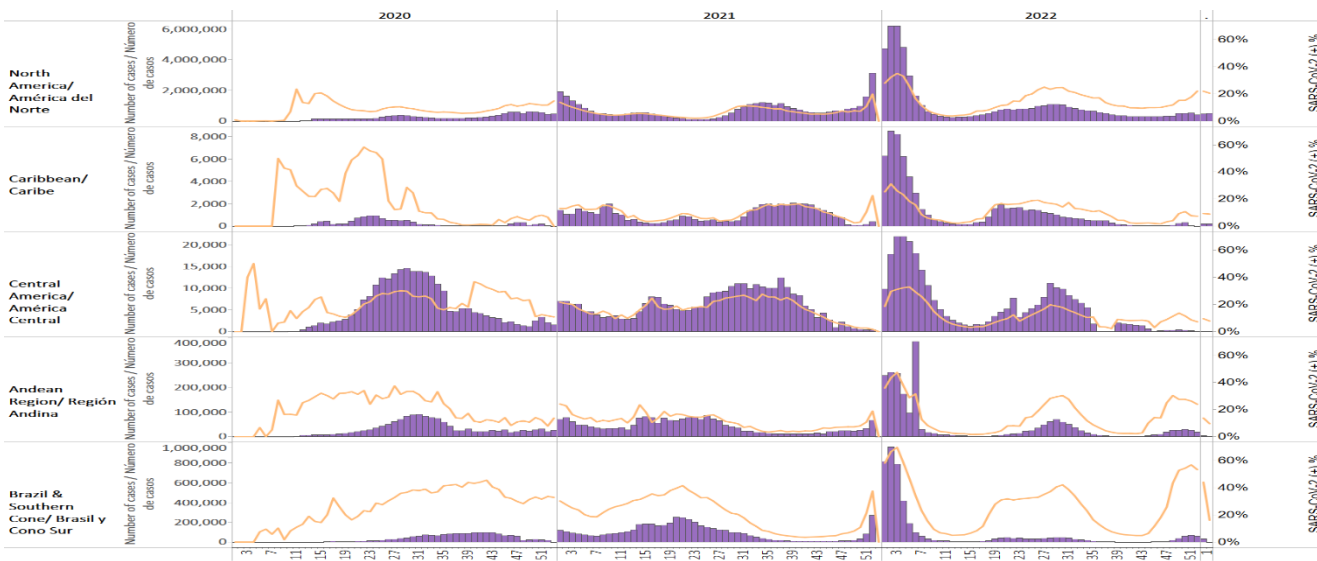


Respiratory viruses / Virus respiratorios

■ Adenovirus ■ Bocavirus ■ Coronavirus ■ Metapneumovir... ■ Parainfluenza ■ Rhinovirus ■ Other viruses/Ot. ■ % Other Respirat..

SARS-CoV-2 circulation by Subregion, 2020 – 2023

Circulación de SARS-CoV-2 por subregión, 2020 – 2023



* North America/America del Norte:
Combined U.S. Laboratories Reporting to CDC: Public Health Laboratories and a Subset of Commercial and Clinical Laboratories.

■ SARS-CoV-2 (+)

■ SARS-CoV-2 (+) %





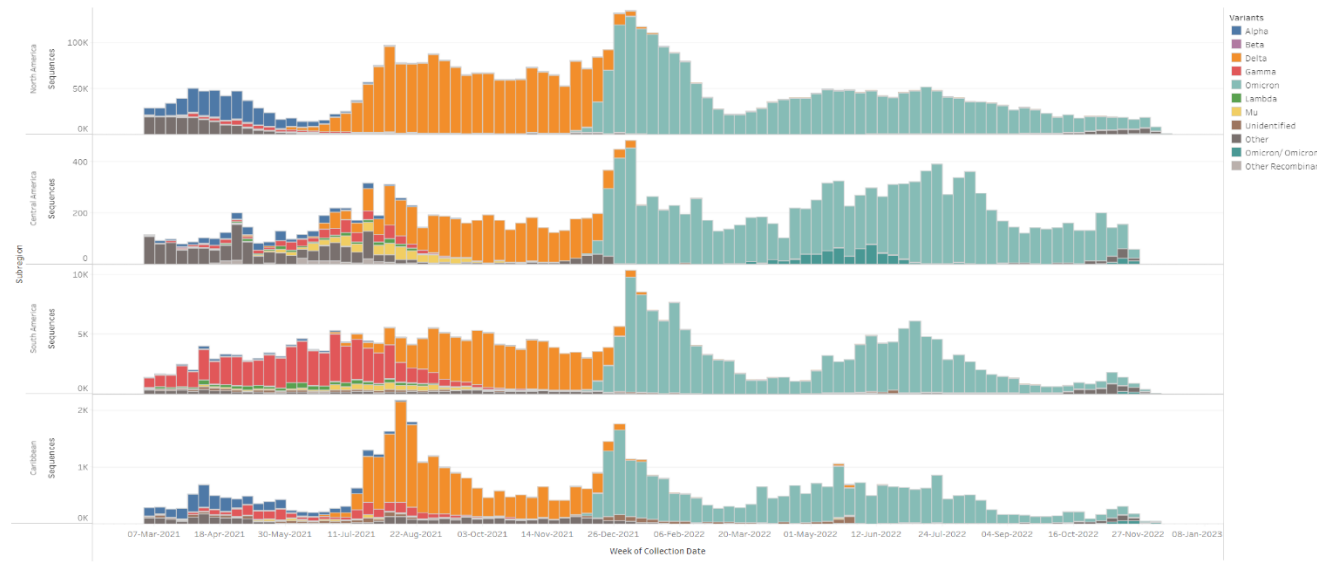
REGIONAL SUMMARY / RESUMEN REGIONAL

Weekly / Semanal

11

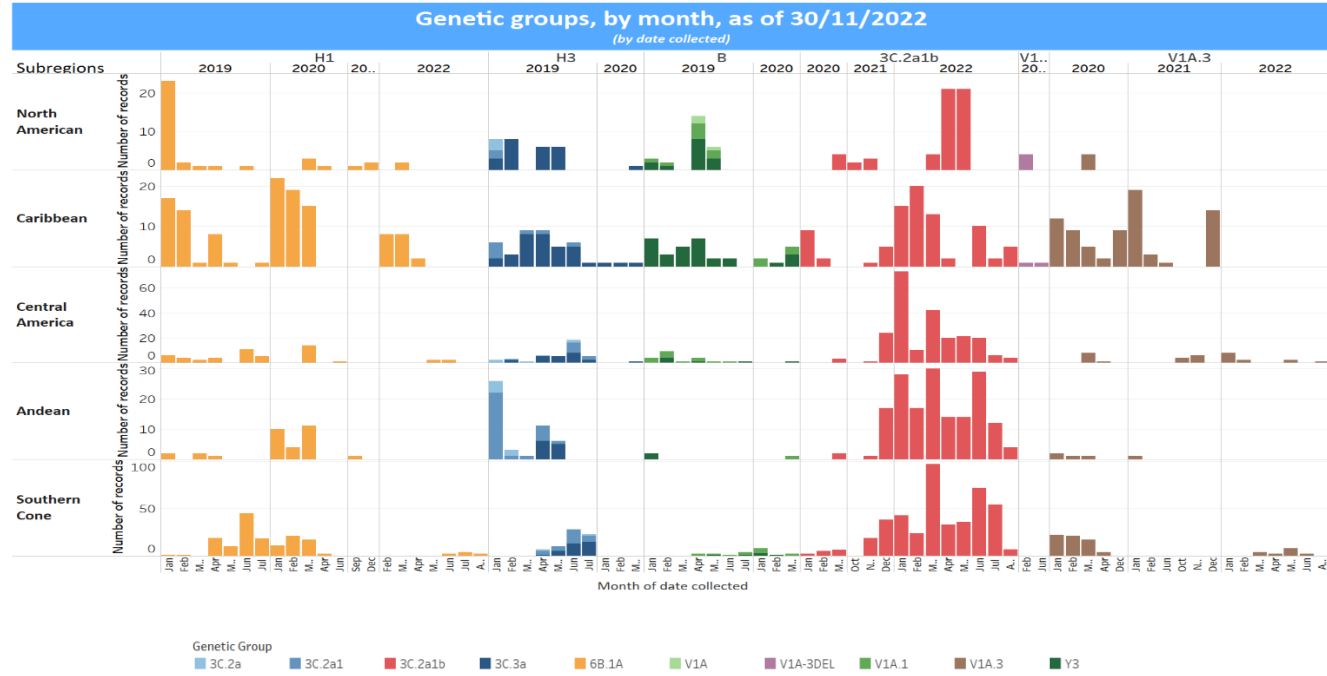
SARS-CoV-2 Variants of Concern by Subregion, February 2021 – December 2022

Variantes de preocupación del SARS-CoV-2 por subregión, febrero de 2021 – diciembre de 2022



Influenza virus genetic characterization by subregion, 2019 - 2022

Caracterización genética de los virus influenza por subregión, 2019 – 2022



SARI net plus



WEEKLY AND CUMULATIVE NUMBERS OF INFLUENZA AND OTHER RESPIRATORY VIRUSES, BY COUNTRY AND EW, 2023^{2,3}

NÚMEROS SEMANALES Y ACUMULADOS DE INFLUENZA Y OTROS VIRUS RESPIRATORIOS, POR PAÍS Y SE, 2023^{4,5}

Weekly / Semanal

12

	N samples flu & ORV muestras flu & OVR	A(H3N2)	A(H1N1)pdm09	FLUANoSU	Influenza A unable to subtype/subtipo indeterminable	B Victoria	B Yamagata	B lineage indeterminado	Influenza (+) %	Adenovirus	Parainfluenza	VRS	% RSIVRS (+)	Coronavirus	Metapneumovirus	Rinovirus*	% All Positive Samples (+) Flu & ORV			N samples/muestras SARS-CoV-2 (+)	SARS-CoV-2 (%)
																	Influenza A	B	VRS	Rinovirus*	
North America/ América del Norte	Canada	114,954	101	45	553			19	0.6%	201	341	2,671	2%	370	273	455	4.4%	71,421	13,948	19.5%	
	Mexico	411	119	4	0	16	15	0	37.7%	2	0	24	6%	2	1	2	45.3%	52,647	23,315	44.3%	
	USA	79,722	274	63			6	0	100.0%			1,277	2%				2.2%	2,384,345	478,507	20.1%	
	Belize	96	2	0	0	0	11	0	0	13.5%								13.5%	1,699	133	7.8%
Caribbean/ Caribe	French Guiana	23	3	11			3		73.9%			2	9%				82.6%	0			
	Jamaica	39	1	0	0	0	0	0	0	2.6%	0	1	0	0%	0	0	0	5.1%	106	26	24.5%
	Saint Lucia	0	0	0	0	0	0	0	0	0	0	0	0	0	0	0	0	342	32	9.4%	
Central America/ América Central	Costa Rica	0	0	0	0	0	0	0	0	0	0	0	0	0	0	0	0	1	1	100.0%	
	El Salvador	9	0	0	0	0	0	0	0.0%	1	0	0	0%	0	0	0	11.1%	9	0	0.0%	
	Guatemala	33	1	0	0	0	2	0	12.1%	0	2	11	33%	1	0	5	72.7%	588	81	13.8%	
	Honduras	13	0	0	0	0	0	0	0.0%	0	0	0	0%	0	0	0	0.0%	10	2	20.0%	
	Nicaragua	85	0	1	0	0	0	0	2.3%	0	0	0	0%	0	0	0	3.5%	877	34	3.9%	
	Panama	56	2	2	0	0	3	0	0	12.5%	0	1	2	4%	0	0	4	25.0%	93	5	5.4%
Andean / Zona Andina	Bolivia	12	0	0	0	0	0	0	46.2%	0	0	0	0%	0	0	0	46.2%	5	0	0.0%	
	Colombia	766	0	4	3	0	0	0	5.1%	20	15	21	3%	6	8	44	16.2%	9,127	1,052	11.5%	
	Ecuador	111	5	0	0	0	0	0	9.9%	0	0	0	0%	0	0	0	9.9%	121	21	17.4%	
	Peru	833	2	2	0	0	26	0	3.6%	0	0	0	0%	0	0	2	3.8%	11,835	941	8.0%	
Brazil & Southern Cone/ Brasil y Cono Sur	Argentina	138	0	0	0	0	0	2	1.4%	0	0	0	0%	0	0	639	84			13.1%	
	Brazil	574	0	0	0	0	0	4	0.7%	0	1	42	7%	0	2	2	8.9%	2,398	514	21.4%	
	Chile	1,477	2	1	16	0	8	0	9	2.4%	107	40	34	2%	16			15.8%	1,334	90	6.7%
	Chile IRAG	91	1	0	1	0	0	0	3	5.5%	9	4	7	8%	0	1	9	42.9%	87	23	26.4%
	Paraguay	10							0.0%	2		0	0%	0		0	20.0%	149	11	7.4%	
	Uruguay	70	0	0	0	0	0	0	0.0%							0	0.0%	70	21	30.0%	
	Grand Total	199,543	513	133	573	16	80	0	152	0.7%	342	405	4,091	2%	379	301	523	3.8%	2,537,903	518,841	20.4%

These are the raw numbers provided in the country's FluNet update (Not the smoothed averages)
Estos son los números crudos proporcionados en la actualización FluNet del país (no los promedios suavizados)

*Please note blank cells indicate N/A.

*Por favor notar que las celdas en blanco indican N/A.

EW 51, 2022 - EW 2, 2023 / SE 51 de 2022 - SE 2 de 2023																						
	N samples flu & ORV/muestras flu & OVR	Influenza A(H3N2)	Influenza A(H1N1)pdm09	Influenza B	Influenza B Victoria	Influenza B Tamiflu®	Influenza B Yamagata	Influenza B lineage undetermined/linaje indeterminado	Influenza (+) %	Adenovirus*	Parainfluenza*	RSV/VRS*	% RSIVRS (+)	Bocavirus*	Coronavirus*	Metapneumovirus*	Rinovirus*	% All Positive Samples (+) Flu & ORV			N samples/muestras SARS-CoV-2 (+)	SARS-CoV-2 (%)
																		Influenza A	B	VRS	Rinovirus*	
North America/ América del Norte	Canada	368,567	1,280	311	7,098	0	0	70	2.4%	626	1,148	9,369	2.5%	0	1,413	902	1,353	6.4%	223,341	36,032	16.1%	
	Mexico	1,511	684	24	0	21	0	1	52.0%	9	8	113	7.5%	2	3	6	9	61.9%	154,134	70,787	45.9%	
	USA	315,459	1,090	382	33,489	9	0	352	11.2%	0	0	10,321	3.3%	0	0	0	0	14.5%	6,730,216	1,325,336	18.8%	
	Belize	178	8	4	0	3	0	0	0	8.4%	0	0	0	0	0	0	0	8.4%	1,799	174	9.7%	
Caribbean/ Caribe	Dominica	2	0	0	0	0	0	0	0.0%	0	0	0	0.0%	0	2	0	0	100.0%	9	2	22.2%	
	Dominican Republic	39	2	3	0	0	0	0	12.8%	7	0	0	0	0	0	0	0	30.8%	25	1	4.0%	
	French Guiana	12	0	6	0	1	0	0	58.3%	0	0	2	16.7%	0	0	0	0	75.0%	0			
	Haiti	45	16	0	0	0	0	0	35.6%	0	0	0	0.0%	0	0	0	0	35.6%	143	24	16.8%	
	Jamaica	144	3	7	1	0	0	0	7.6%	0	0	2	14.0%	0	0	0	0	9.0%	172	24	14.0%	
Central America/ América Central	El Salvador	34	0	0	1	0	1	0	2.9%	0	0	1	2.9%	0	0	0	0	5.9%	21	1	4.8%	
	Guatemala	73	5	0	1	3	0	1	13.7%	0	4	29	39.7%	1	3	1	12	84.9%	1,084	137	12.6%	
	Honduras	39	0	3	1	5	0	7	41.0%	0	0	0	0.0%	0	0	0	0	41.0%	43	9	29.9%	
	Nicaragua	210	0	0	0	0	0	8	3.8%	0	0	0	0.0%	0	0	0	0	3.8%	2,392	142	5.9%	
	Panama	436	8	1	1	2	0	3	3.4%	3	12	42	9.6%	1	4	0	17	21.8%	889	88	8.9%	
Andean / Zona Andina	Bolivia	39	1	1	0	8	0	2	30.8%	2	0	0	0.0%	0	0	0	0	38.5%	61,109	17,136	28.0%	
	Colombia	2,543	16	6	2	0	0	4	1.1%	173	76	161	6.3%	107	28	44	193	34.1%	37,253	7,276	19.5%	
	Ecuador	322	74	1	0	0	0	13	27.6%	0	3	4	1.2%	0	0	0	0	29.8%	1,096	399	36.4%	
	Peru	573	14	4	0	55	0	0	12.7%	0	0	0	0.0%	0	0	1	1	13.1%	43,805	7,908	18.1%	
	Venezuela	82	0	0	0	0	0	0	0.0%	0	0	0	0.0%	0	0	0	0	0.0%	0			
Brazil & Southern Cone/ Brasil y Cono Sur	Argentina	5,187	0	4	28	0	0	93	2.4%	136	52	164	3.2%	0	0	3	0	9.3%	284,111	154,093	54.2%	
	Brazil	2,561	5	13	0	2	0	6	1.1%	2	2	241	9.4%	1	5	3	15	11.6%	11,289	3,311	29.3%	
	Chile	4,903	74	7	105	35	0	6	4.6%	356	198	122	2.5%	0	0	63	0	19.7%	4,329	392	9.1%	
	Chile IRAG	388	8	1	15	0	0	8	8.2%	34	26	37	9.5%	2	4	17	39	52.1%	354	101	26.5%	
	Paraguay IRAG	319	42	0	0	0	0	16	18.2%	0	1	2	1.9%	0	0	2	0	19.1%	387	108	27.9%	
	Uruguay	107	1	1	1	0	0	1	3.7%	2	1	2	1.9%	0	0	0	0	8.4%	442	152	25.8%	
	Uruguay	225	2	3	0	3	0	0	3.6%	0	0	0	0.0%	0	0	0	0	3.6%	224	125	55.8%	
	Grand Total	703,998	3,333	782	40,742	148	0	591	6.5%	1,350	1,530	20,611	2.9%	114	1,462	1,042	1,640	10.4%	7,558,667	1,627,758	21.5%	

Total Influenza B, EW 51, 2022 - 2, 2023 - SE 51, 2022 - 2 de 2023

	Influenza B	B Victoria	B Yamagata	B lineage undetermined/linaje indeterminado			B Victoria	B Yamagata
Influenza B								



EPIDEMIOLOGIC AND VIROLOGIC UPDATE OF INFLUENZA
AND OTHER RESPIRATORY VIRUSES BY COUNTRY
ACTUALIZACIÓN EPIDEMIOLÓGICA Y VIROLÓGICA DE LA
INFLUENZA Y OTROS VIRUS RESPIRATORIOS POR PAÍS





SUBREGION
NORTH AMERICA / AMÉRICA DEL NORTE

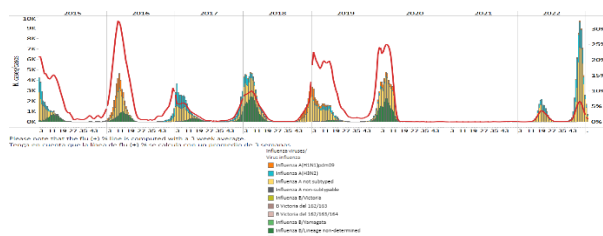




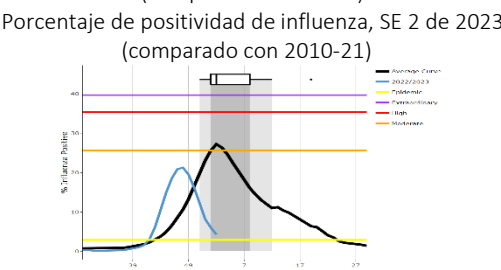
Canada / Canadá

During EW 2 2023, influenza A(H3N2) detections predominated, followed by influenza A(H1N1)pdm09 (where subtyping was performed) and influenza B viruses (lineage undetermined). Influenza activity has decreased below the average of previous seasons at low-intensity levels. RSV activity follows seasonal trends at the national level. Compared to pre-pandemic seasons, RSV activity is near average levels typical of this time of year (Graphs 1, 2, and 3). Among influenza detections for which age information was recorded (495), 47% (234) of detections were among those aged 65 years and older. The number of influenza-associated hospitalizations among the pediatric population decreased and was below the typical of this time of year, according to the Immunization Monitoring Program Active (IMPACT). Rhinovirus, parainfluenza, metapneumovirus, and adenovirus detections continued to be registered, with activity near expected levels typical of this time of year (Graph 4). The percentage of visits to healthcare professionals due to ILI (1.4%) was below the expected levels for this time of year (Graph 5). The COVID-19 weekly rate decreased among all age groups (Graph 6), while the number of newly reported COVID-19 cases and percent positivity decreased in the most recent reporting week. / Durante la SE 2 de 2023, predominaron las detecciones de influenza A(H3N2), seguidas de influenza A(H1N1)pdm09 (en muestras con subtipo determinado) e influenza B (linaje indeterminado). La actividad de la influenza ha disminuido por debajo del promedio de temporadas anteriores en niveles de baja intensidad. La actividad del VRS sigue las tendencias estacionales a nivel nacional. En comparación con las temporadas previas a la pandemia, la actividad del VRS está cerca de los niveles promedio típicos de esta época del año (Gráficos 1, 2 y 3). De las detecciones de influenza para las que se registró información sobre la edad (495), el 47 % (234) de las detecciones se realizaron en personas de 65 años o más. El número de hospitalizaciones asociadas a la influenza en la población pediátrica disminuyó y estuvo por debajo de lo típico en esta época del año, según el Programa de Monitoreo de Inmunización Activo (IMPACT). Continuó el registro de detecciones de rinovirus, parainfluenza, metapneumovirus y adenovirus, con una actividad cercana a los niveles esperados típicos de esta época del año (Gráfico 4). El porcentaje de visitas a profesionales de la salud por ETI (1,4 %) estuvo por debajo de los niveles esperados para esta época del año (Gráfico 5). La tasa semanal de la COVID-19 disminuyó en todos los grupos de edad (Gráfico 6), mientras que el número de casos de la COVID-19 reportados recientemente y el porcentaje de positividad disminuyeron en la semana de informe más reciente.

Graph 1. Canada: Influenza virus distribution, EW 2, 2015-23
Distribución de virus de influenza, SE 2, 2015-23



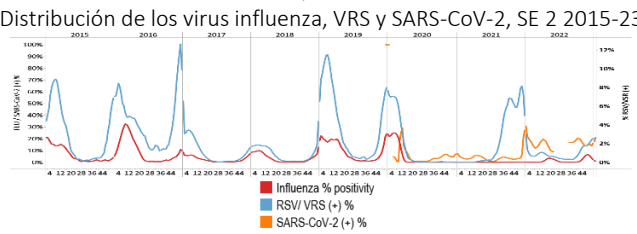
Graph 3. Canada: Percent positivity for influenza, EW 2, 2023 (compared to 2010-21)
Porcentaje de positividad de influenza, SE 2 de 2023 (comparado con 2010-21)



Graph 5. Canada: Percentage of ILI visits by sentinel sites, EW 35, 2022 – EW 2, 2023
Porcentaje de casos de ETI por sitio centinela , SE 35 de 2022 a SE 2 de 2023



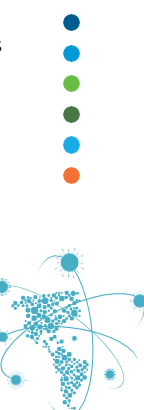
Graph 2. Canada: Influenza, RSV, and SARS-CoV-2 distribution EW 2, 2015-23
Distribución de los virus influenza, VRS y SARS-CoV-2, SE 2 2015-23



Graph 4. Canada: RSV, SARS-CoV-2, and other respiratory viruses distribution, EW 2 2015-23
Distribución del VRS, SARS-CoV-2 y otros virus respiratorios, SE 2, 2015-23



Graph 6. Canada: Age and gender distribution of COVID-19 cases as of 14 January 2023
Distribución por edad de los casos de la COVID-19, al 14 de enero de 2023



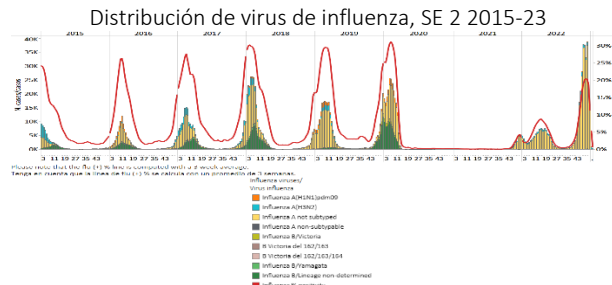


2
3
4
5
6
7

United States / Estados Unidos

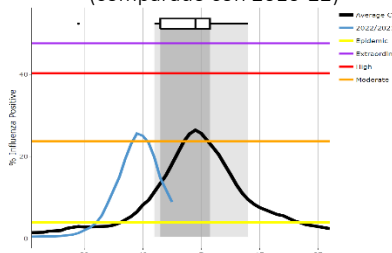
As of EW 2 2023, influenza A(H3N2) viruses predominated. Influenza A(H1N1)pdm09 and influenza B/Victoria (when determined) were co-circulated. Seasonal influenza activity continues to decline across the country, below the average of previous seasons at a low-intensity level (Graphs 1, 2, and 3). Respiratory syncytial virus activity remained at lower levels than previous seasons' peaks. Additionally, SARS-CoV-2 percent positivity (20.1%) increased compared to the previously registered (Graph 2). Influenza-like illness (ILI) remained increased, with 3.0% of outpatient ILI visits above the national baseline for this time of year, although decreasing (Graph 4). In EW 2, most jurisdictions reported low or minimal ILI activity, eight reported moderate activity, and seven had high or very high activity (Graph 5). According to the FluSurv-NET system, the overall cumulative hospitalization rate was 56.7/100 000 population, 1.6 times higher than the highest recorded in previous seasons going back to 2010-11 for EW 2. Laboratory-confirmed COVID-19-associated hospitalizations have decreased, with a -22.9% percent change from EW 1 2023 (Graph 6). / En la SE 2 de 2023 predominaron los virus influenza A(H3N2). Circularon concurrentemente influenza A(H1N1)pdm09 e influenza B/Victoria (muestras con linaje determinado). La actividad de la influenza estacional continua disminuyendo en todo el país, por debajo del promedio de temporadas anteriores en un nivel de baja intensidad (Gráficos 1, 2 y 3). La actividad del virus respiratorio sincitial se mantuvo en niveles más bajos que los picos de temporadas anteriores. Adicionalmente, el porcentaje de positividad del SARS-CoV-2 (20,1 %) aumentó respecto al registrado anteriormente (Gráfico 2). La enfermedad tipo influenza (ETI) siguió elevada, con un 3,0 % de visitas ambulatorias por ETI por encima de la línea de base nacional para esta época del año, aunque disminuyó (Gráfico 4). En la SE 2, la mayoría de las jurisdicciones reportaron una actividad de ETI baja o mínima, ocho reportaron actividad moderada y siete tuvieron actividad alta o muy alta (Gráfico 5). Según el sistema FluSurv-NET, la tasa de hospitalización acumulada general fue de 56,7/100 000 habitantes, 1,6 veces más alta que la tasa más alta registrada en temporadas anteriores desde 2010-11 para la SE 2. Las hospitalizaciones asociadas a la COVID-19 confirmadas por laboratorio han disminuido, con una variación porcentual de -22,9% respecto a la SE 1 de 2023 (Gráfico 6).

Graph 1. USA: Influenza virus distribution,
EW 2, 2015-23



Graph 3. USA: Percent positivity for influenza, EW 2 2023
(compared to 2010-22)

Porcentaje de positividad de influenza, SE 2 de 2023
(comparado con 2010-22)

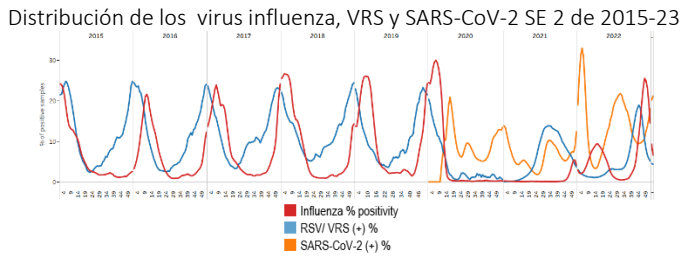


Graph 5. USA: ILI activity level indicator by state,
EW 2, 2021-2023

Indicador de nivel de actividad de la ETI por estado,
SE 2, 2021-2023

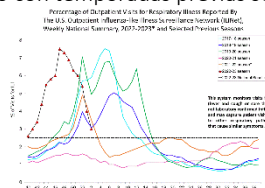


Graph 2. USA: Influenza, RSV, and SARS-CoV-2 distribution
EW 2, 2015-23



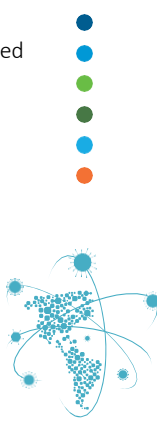
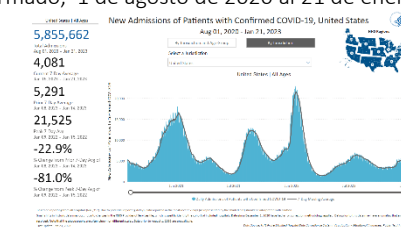
Graph 4. USA: Percentage of visits for ILI, EW 2 2023
compared to selected previous seasons

Porcentaje de visitas por ETI, SE 2, 2023
comparado con temporadas previas seleccionadas



Graph 6. USA: New hospital admissions of patients with confirmed
COVID-19, August 1, 2020 – January 21, 2023

Nuevos ingresos hospitalarios de pacientes con COVID-19
confirmado, 1 de agosto de 2020 al 21 de enero de 2023



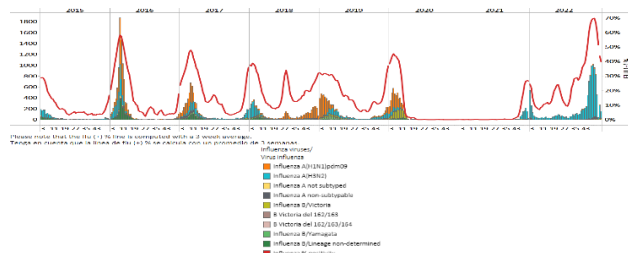


Mexico / México

In EW 2 2023, a predominance of influenza A(H3N2) detections followed by influenza B/Victoria and A(H1N1)pdm09 (where subtyping was performed) were reported. Influenza activity decreased to moderate-intensity levels for this time of year (Graphs 1 and 3). In addition, RSV detections were recorded, with increased activity at lower levels than the peaks in 2021 and 2022. SARS-CoV-2 percent positivity (44.3%) declined at higher levels than the peak observed in 2021 (Graphs 2 and 4). SARI cases have shown a slowly increasing trend below the average of prior seasons at low-intensity levels for this time of year (Graph 5). Among 1899 sampled SARI cases, 27.3% tested positive for SARS-CoV-2, and 3.4% were influenza cases. Influenza-like illness (ILI) cases were above the average of previous seasons at moderate-intensity levels (Graph 6). Of 12 953 sampled ILI cases reported, 32.1% tested positive for SARS-CoV-2, and most cases occurred in persons 30-39 years. Influenza-associated ILI cases (0.7%) occurred mainly among persons aged 25-39. SARI-associated deaths (129) were registered, with 58.1% occurring among those aged 65 and older. / En la SE 2 de 2023, se reportó un predominio de las detecciones de influenza A(H3N2) seguidas de influenza B/Victoria y A(H1N1)pdm09 (en muestras con subtipo determinado). La actividad de influenza disminuyó a niveles de intensidad moderada para esta época del año (Gráficos 1 y 3). Además, se registraron detecciones de VRS, con una mayor actividad ubicándose en niveles más bajos que los picos en 2021 y 2022. El porcentaje de positividad del SARS-CoV-2 (44,3 %) disminuyó ubicándose en niveles más altos que el pico observado en 2021 (Gráficos 2 y 4). El número de casos de IRAG ha mostrado una tendencia lenta al aumento, ubicándose por debajo del promedio de temporadas anteriores en niveles de baja intensidad para esta época del año (Gráfico 5). De 1899 casos de IRAG con muestras, el 27,3 % resultaron positivos para SARS-CoV-2 y el 3,4 % fueron casos de influenza. Los casos de enfermedad tipo influenza (ETI) estuvieron por encima del promedio de temporadas anteriores en niveles de intensidad moderada (Gráfico 6). De 12 953 casos de ETI con muestra reportados, el 32,1 % resultaron positivos para SARS-CoV-2, y la mayoría de ellos ocurrieron en personas de 30 a 39 años. Los casos de ETI asociados a la influenza (0,7 %) ocurrieron principalmente en personas de 25 a 39 años. Se registraron 129 muertes asociadas a la IRAG, con un 58,1 % en los mayores de 65 años.

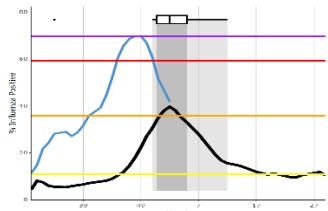
Graph 1. Mexico: Influenza virus distribution, EW 2, 2015-23

Distribución del virus influenza, SE 2, 2015-23



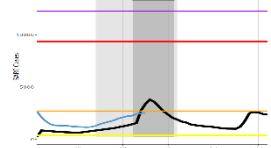
Graph 3. Mexico: Percent positivity for influenza, EW 2, 2023 (compared to 2010-22)

Porcentaje de positividad de influenza, SE 2 de 2023 (comparado con 2010-22)



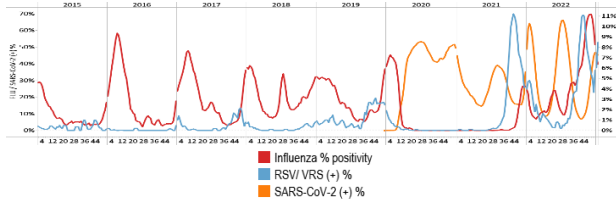
Graph 5. Mexico: Number of SARI cases, EW 2, 2023 (compared to 2015-22)

Número de casos de IRAG, SE 2 de 2023 (comparado con 2015-22)



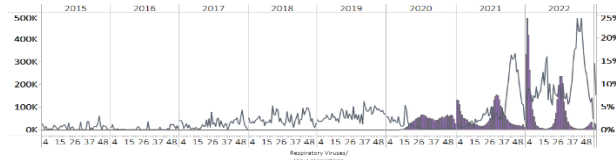
Graph 2. Mexico: Influenza, RSV, and SARS-CoV-2 distribution EW 2, 2015-23

Distribución de los virus influenza, VRS y SARS-CoV-2, SE 2, 2015-23



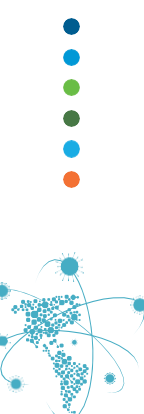
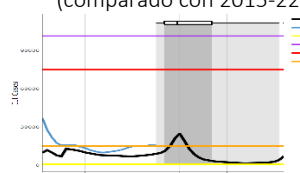
Graph 4. Mexico: RSV, SARS-CoV-2, and other respiratory viruses distribution, EW 2 2015-23

Distribución del VRS, SARS-CoV-2 y otros virus respiratorios, SE 1 2015-23



Graph 6. Mexico: Number of ILI cases, EW 2, 2023 (compared to 2015-22)

Número de casos de ETI, SE 2 de 2023 (comparado con 2015-22)





SUBREGION
CARIBBEAN / CARIBE

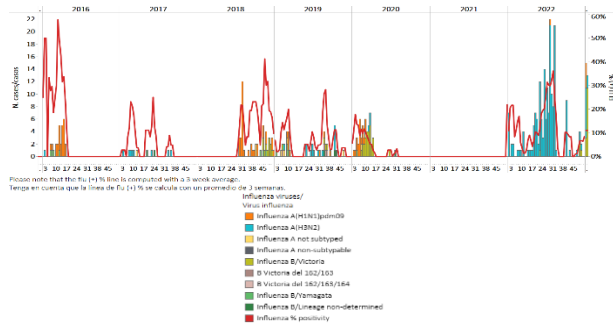




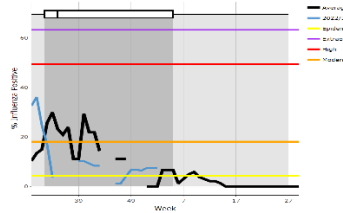
Belize / Belice

In EW 2 2023, influenza B/Victoria detections predominated, with influenza A(H3N2) virus co-circulation nationally (Graph 1). Influenza activity remained stable above the average of previous years at low-intensity levels (Graph 3). Cayo and Belize City reported the most influenza cases. No respiratory syncytial viruses were reported. Of 1699 samples analyzed for SARS-CoV-2, 7.8% tested positive. Percent positivity and detections decreased compared to the previous week (Graphs 2 and 4). Belize, Toledo, and Cayo reported the most COVID-19 cases. / En la SE 2 de 2023 a nivel nacional predominaron las detecciones de influenza B/Victoria, con circulación concurrente del virus influenza A(H3N2) (Gráfico 1). La actividad de la influenza se mantuvo estable por encima del promedio de años anteriores en niveles de baja intensidad (Gráfico 3). Cayo y Ciudad de Belice reportaron la mayor cantidad de casos de influenza. No se reportaron detecciones de virus respiratorio sincitrial. De 1699 muestras analizadas para SARS-CoV-2, el 7,8% resultaron positivas. El porcentaje de positividad y detecciones disminuyó en comparación con la semana anterior (Gráficos 2 y 4). Belice, Toledo y Cayo reportaron el mayor número de casos de la COVID-19.

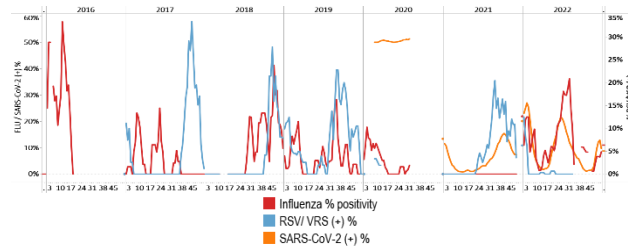
Graph 1. Belize. Influenza virus distribution EW 2, 2016-23
Distribución de virus influenza SE 2, 2016-23



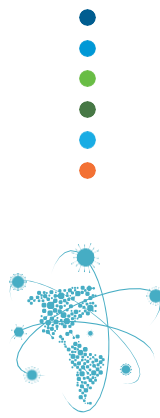
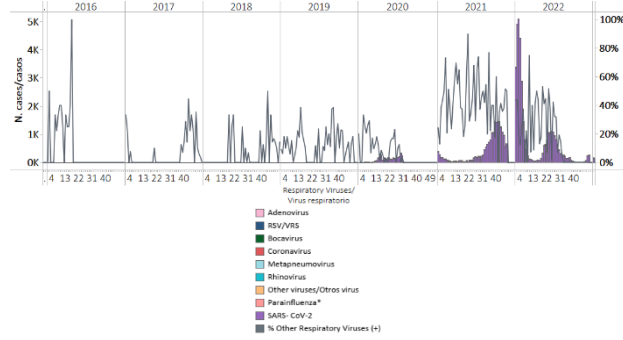
Graph 3. Belize: Percent positivity for influenza, EW 2, 2023 (compared to 2016-22)
Porcentaje de positividad de influenza, SE 2 de 2023 (comparado con 2016-22)



Graph 2. Belize: Influenza, RSV, and SARS-CoV-2 distribution, EW 2, 2016-23
Distribución de virus influenza, VRS y SARS-CoV-2, SE 2, 2016-23



Graph 4. Belize: RSV, SARS-CoV-2, and other respiratory viruses distribution, EW 2, 2016-23
Distribución de VRS, SARS-CoV-2 y otros virus respiratorios, SE 2, 2016-23

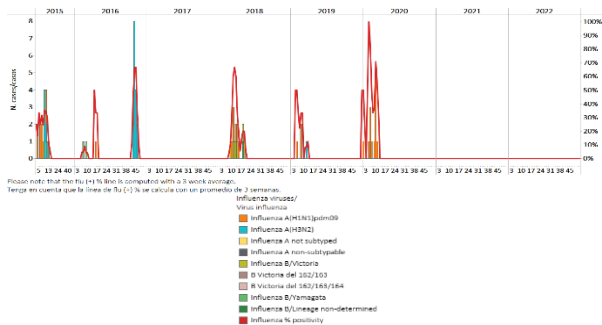




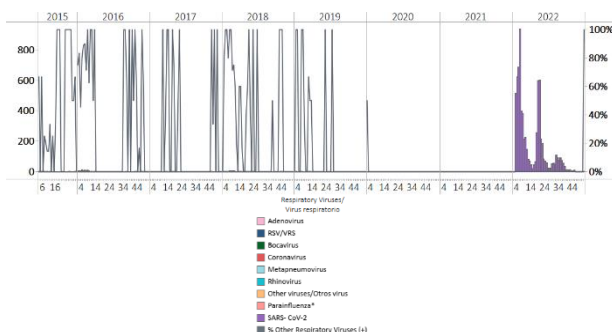
Dominica

During EW 52, no samples were analyzed for influenza or RSV (Graphs 1 and 2). In addition, nine samples were analyzed for SARS-CoV-2; 22.2% tested positive, which increased compared to the previous week (Graphs 2 and 3). After an increase above the average of prior years at low levels, the number of SARI cases dropped to baseline levels (Graph 4). / Durante la SE 52 no se analizaron muestras para influenza ni VRS (Gráficos 1 y 2). Además, se analizaron nueve muestras para SARS-CoV-2; el 22,2 % resultaron positivas, un aumento con respecto a la semana previa (Gráficos 2 y 3). Luego de un aumento por encima del promedio de años anteriores en niveles bajos, el número de casos de IRAG disminuyó, ubicándose en niveles basales (Gráfico 4).

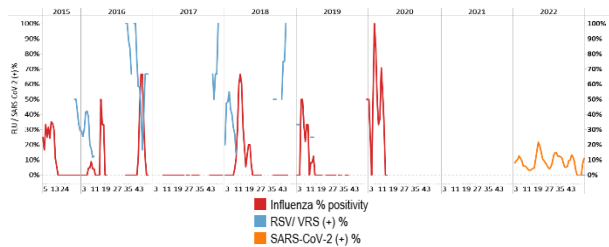
Graph 1. Dominica. Influenza virus distribution,
EW 52, 2015-22
Distribución de virus influenza, SE 52, 2015-22



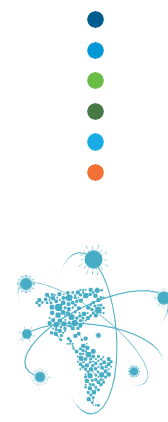
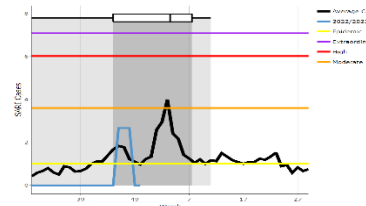
Graph 3. Dominica: RSV, SARS-CoV-2, and other respiratory viruses distribution, EW 52, 2015-22
Distribución de VRS, SARS-CoV-2 y otros virus respiratorios, SE 52, 2015-22



Graph 2. Dominica: Influenza, RSV, and SARS-CoV-2 distribution, EW 52, 2015-22
Distribución de virus influenza, VRS y SARS-CoV-2, SE 52, 2015-22



Graph 4. Dominica: Number of SARI cases, EW 52, 2022
(compared to 2010-21)
Número de casos de IRAG, SE 52 de 2022
(comparado con 2010-21)



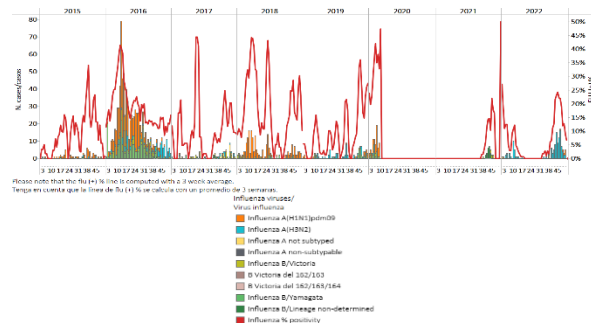


Dominican Republic / República Dominicana

During EW 1 2023, no influenza detections were reported, with influenza A(H3N2) circulation in previous weeks (Graphs 1, 2, and 3). No respiratory syncytial virus detections were registered (Graphs 2 and 4). No samples were analyzed for SARS-CoV-2 (Graph 4). SARI cases/100 hospitalizations have shown an increasing trend with low-intensity activity. (Graph 5). / Durante la SE 1 de 2023, no se reportaron detecciones de influenza, con circulación de influenza A(H3N2) en semanas previas (Gráficos 1, 2 y 3). No se registraron detecciones de virus respiratorio sincitrial (Gráficos 2 y 4). No se analizaron muestras para SARS-CoV-2 (Gráfico 4). El número de casos de IRAG por cada 100 hospitalizaciones ha mostrado una tendencia creciente, con una actividad en niveles de baja intensidad (Gráfico 5).

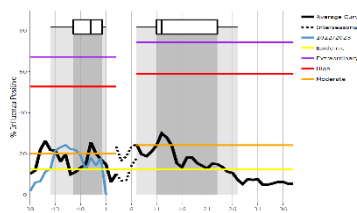
Graph 1. Dominican Republic: Influenza virus distribution, EW 1, 2015-23

Distribución del virus influenza, SE 1, 2015-23



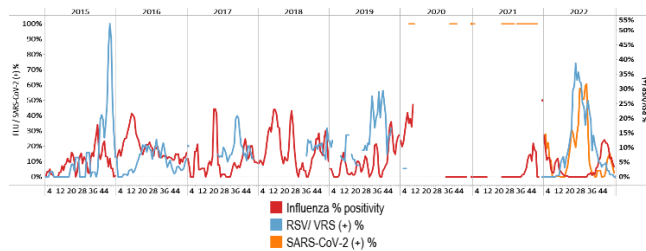
Graph 3. Dominican Republic: Percent positivity for influenza, EW 1, 2023 (compared to 2010-22)

Porcentaje de positividad de influenza, SE 1 de 2023 (comparado con 2010-22)



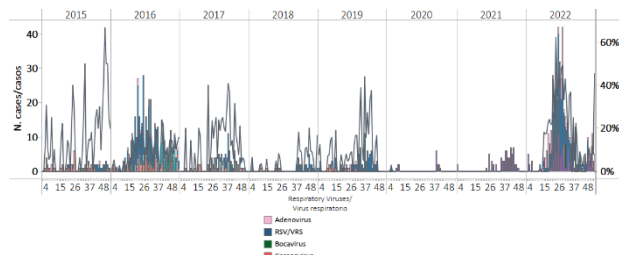
Graph 2. Dominican Republic: Influenza, RSV, and SARS-CoV-2 distribution, EW 1, 2015-23

Distribución de los virus influenza, VRS y SARS-CoV-2, SE 1, 2015-23



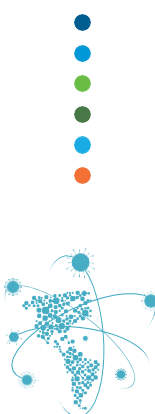
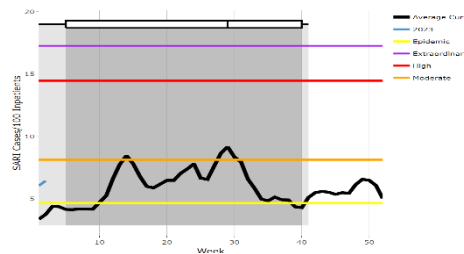
Graph 4. Dominican Republic: RSV, SARS-CoV-2, and other respiratory viruses distribution, EW 1, 2015-23

Distribución de VRS, SARS-CoV-2 y otros virus respiratorios, SE 1, 2015-23



Graph 5. Dominican Republic: SARI cases/100 hospitalizations, EW 52, 2022 (compared to 2018-21)

Casos de IRAG por cada 100 hospitalizaciones, SE 52 de 2022 (comparado con 2018-21)





Guadeloupe: The number of weekly consultations for ILI (1370) increased compared to 945 in EW 1, remaining at epidemic levels by EW 2 2023 (Graph 1). Most cases were due to influenza A, based on hospital virological surveillance; most occurred among those 65 years and older. **Martinique:** Two unusual ILI peaks have been observed, the first in EW 43 and the second in EW 51, 2022. The number of ILI consultations decreased slightly compared to the previous report, with 565 consultations compared to 620 in EW 1 2023 (Graph 2). Since EW 42 2022, hospital virological surveillance has shown sporadic influenza B detections with influenza A(H3N2) detections predominance. Influenza cases occurred among all age groups, with predominance among those 0-9 years and 65 years and older. **Saint-Martin:** As of EW 2, 2023, the number of ILI consultations increased (115 compared to 60 previously) (Graph 3). **Saint-Barthelemy:** In EW 2 2023, an increase was observed in the number of ILI consultations during January. Compared to the last week, consultations decreased slightly (41 versus 45 in EW 1) (Graph 4). **French Guiana:** in EW 2 2023, influenza A(H1N1)pdm09 predominated with influenza A(H3N2) and B/Victoria viruses co-circulation (Graph 5). Influenza activity was above the average of previous years at low-intensity levels (Graph 6). Few RSV detections were reported, with increased activity. / **Guadalupe:** el número de consultas semanales por ETI (1370) aumentó en comparación con 945 en la SE 1, manteniéndose en niveles epidémicos para la SE 2 de 2023 (Gráfico 1). La mayoría de los casos se debieron a influenza A, según la vigilancia virológica hospitalaria; la mayoría ocurrió entre los mayores de 65 años. **Martinica:** se han observado dos picos inusuales de ETI, el primero en la SE 43 y el segundo en la SE 51 de 2022. El número de consultas por ETI disminuyó ligeramente en comparación con el informe anterior, con 565 consultas en comparación con 620 en la SE 1 de 2023 (Gráfico 2). Desde la SE 42 de 2022, la vigilancia virológica hospitalaria ha mostrado detecciones esporádicas de influenza B con predominio de detecciones de influenza A(H3N2). Los casos de influenza ocurrieron en todos los grupos de edad, con predominio en los de 0 a 9 años y de 65 años y más. **San Martín:** en la SE 2 de 2023, aumentó el número de consultas por ETI (115 en comparación con 60 previamente) (Gráfico 3). **San Bartolomé:** en la SE 2 de 2023, durante el mes de enero se ha observado un aumento en el número de consultas por ETI. En comparación con la última semana, las consultas disminuyeron ligeramente (41 versus 45 en la SE 1) (Gráfico 4). **Guayana Francesa:** en la SE 2 de 2023 predominó influenza A(H1N1)pdm09 con circulación concurrente de los virus influenza A(H3N2) y B/Victoria (Gráfico 5). La actividad de la influenza estuvo por encima del promedio de años anteriores en niveles de baja intensidad (Gráfico 6). Se reportaron pocas detecciones de VRS con una actividad elevada.

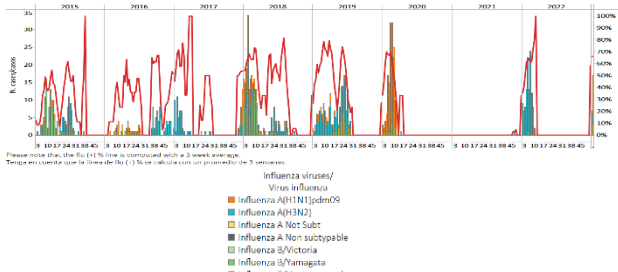
Graph 1. Guadeloupe: Estimated number of ILI consultations,
July 2018 – January 2023



Graph 3. Saint-Martin: Estimated number of ILI consultations,
July 2018 – January 2023

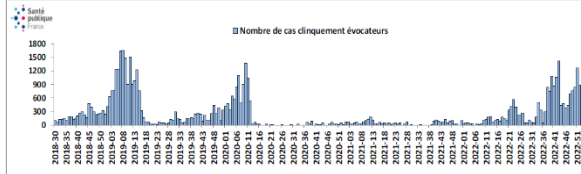


Graph 5. French Guiana: Influenza virus distribution, EW 2, 2015-23
Distribución del virus influenza, SE 2, 2015-23



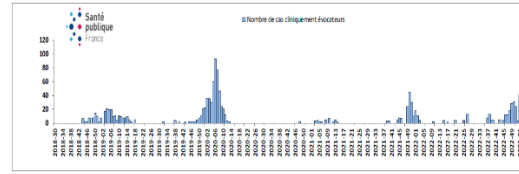
Graph 2. Martinique: Estimated number of ILI consultations,
July 2018 – January 2023

Número estimado de consultas por ETI,
Julio de 2018 – Enero de 2023



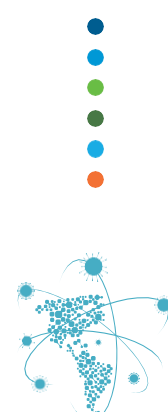
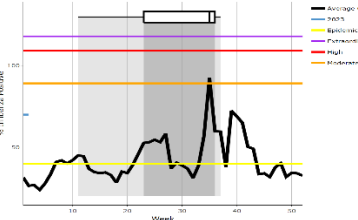
Graph 4. Saint-Barthelemy: Estimated number of ILI consultations,
July 2018 – January 2023

Número estimado de consultas por ETI,
Julio de 2018 – Enero de 2023



Graph 6. French Guiana: Percent positivity for influenza,
EW 2, 2023 (compared to 2010-22)

Porcentaje de positividad de influenza,
SE 10 de 2023 (comparado con 2010-22)

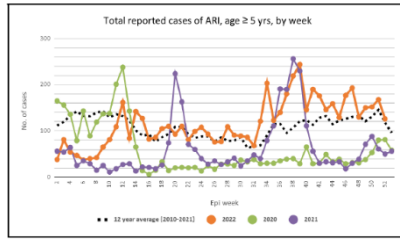




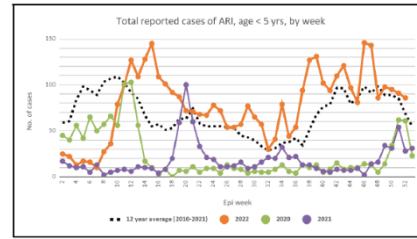
Grenada / Granada

During 2022, the number of ARI cases fluctuated around the average of the previous 12 years, with the highest increase recorded in EW 39. In EW 52, ARI cases remained elevated at the mean of prior years (Graph 1). Similarly, after EW 11, the number of ARI cases among children under five has remained above the average of the previous 12 years. ARI cases have been elevated above the prior years' average (Graph 2). Overall, ARI cases decreased compared to previous weeks; however, it was greater than the number recorded in the two previous years by the same period. / Durante el 2022, el número de casos de IRA fluctuó alrededor del promedio de los 12 años anteriores, registrándose el mayor aumento en la SE 39. En la SE 52, los casos de IRA se mantuvieron elevados en la media de los años anteriores (Gráfico 1). De igual manera, luego de la SE 11, el número de casos de IRA en niños menores de cinco años se ha mantenido por encima del promedio de los últimos 12 años. Los casos de IRA se mantuvieron elevados por encima del promedio de años anteriores (Gráfico 2). En general, el número de casos de IRA disminuyó en comparación con las semanas previas; sin embargo, fue mayor que el número registrado en los dos años previos, para el mismo período.

Graph 1. Grenada: ARI cases among individuals 5 years and older, EW 52, 2020-22 (compared to 2010-21)
Casos de IRA en personas de 5 y más años, SE 52 de 2022
(comparado con 2010-21)



Graph 2. Grenada: Number of pediatric ARI cases (<5 years of age), EW 52, 2020-22 (compared to 2010-21)
Casos pediátricos de IRA (< 5 años), SE 52 de 2022
(comparado con 2010-21)



Source / fuente: Weekly Communicable Disease Surveillance Report 2022. Epidemiological week #52. Ministry of Health Grenada
Informe Semanal de Vigilancia de Enfermedades Transmisibles 2022. Semana epidemiológica #52. Ministerio de Salud Granada

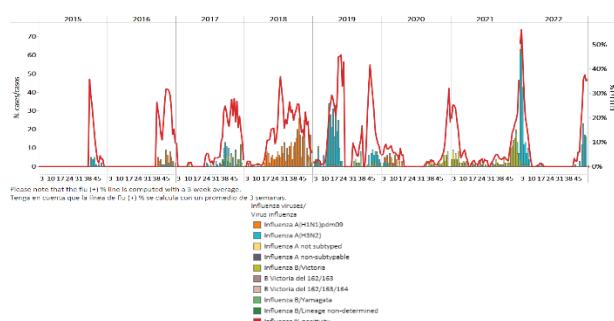




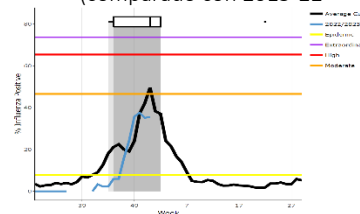
Haiti / Haïti

During EW 1 2023, no influenza detections were reported; influenza A(H3N2) circulated in recent weeks. Influenza activity was at expected levels for this time of year at low-intensity levels (Graphs 1, 2, and 3). Among 66 specimens tested for SARS-CoV-2, 13.6% tested positive, which decreased compared to the previous week (Graphs 2 and 4). In addition, severe acute respiratory infections have risen, remaining below the average of prior seasons at epidemic levels (Graph 5). / Durante la SE 1 de 2023, no se reportaron detecciones de influenza; influenza A(H3N2) circuló en las últimas semanas. La actividad de la influenza estuvo en los niveles esperados para esta época del año en niveles de baja intensidad (Gráficos 1, 2 y 3). De 66 muestras analizadas para SARS-CoV-2, el 13,6 % resultaron positivas, una disminución en comparación con la semana previa (Gráficos 2 y 4). Además, el número de infecciones respiratorias agudas graves ha aumentado, manteniéndose por debajo del promedio de temporadas anteriores en niveles epidémicos (Gráfico 5).

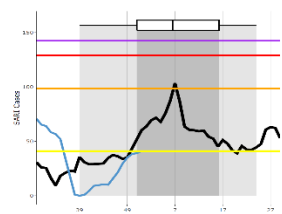
Graph 1. Haiti: Influenza virus distribution EW 1, 2015-23
Distribución de virus influenza SE 1, 2015-23



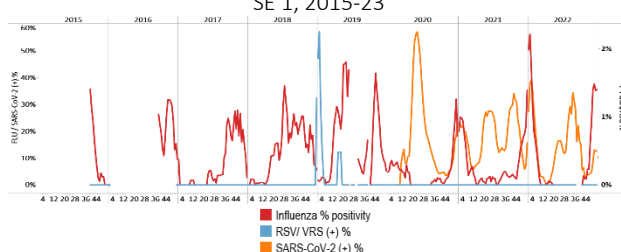
Graph 3. Haiti: Percent positivity for influenza, EW 1, 2023
(compared to 2015-22)
Porcentaje de positividad de influenza, SE 1 de 2023
(comparado con 2015-22)



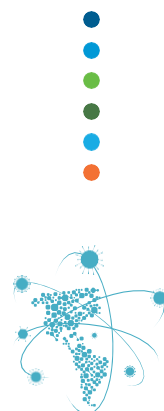
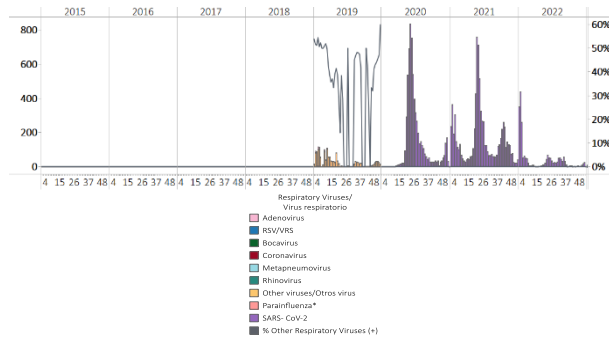
Graph 4. Haiti: Number of SARI cases, EW 1, 2023
(compared to 2017-22)
Número de casos de IRAG, SE 1 de 2023
(comparado con 2017-22)



Graph 2. Haiti: Influenza, RSV, and SARS-CoV-2 distribution,
EW 1, 2015-23
Distribución de los virus influenza, VRS y SARS-CoV-2,
SE 1, 2015-23



Graph 4. Haiti: RSV, SARS-CoV-2, and other respiratory viruses
distribution, EW 1, 2019-23
Distribución del VRS, SARS-CoV-2 y otros virus, SE 1, 2019-23





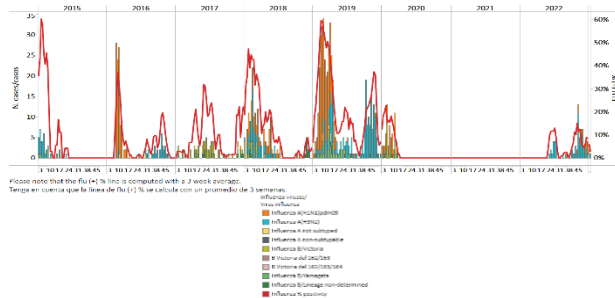
Jamaica

In EW 2 2023, a single influenza A(H3N2) detection was reported. No RSV detections were recorded, with parainfluenza virus circulation during the reporting period (Graphs 1 and 2). Influenza activity remained at baseline levels at the average of previous years (Graph 3). SARS-CoV-2 percent positivity (24.5%) remained stable compared to last week (Graph 2). SARI cases / 100 hospitalizations stayed unchanged at baseline levels (Graph 4). Pneumonia cases decreased to low-intensity levels (Graph 5), while acute respiratory infections remained at baseline levels (Graph 6). / En la SE 2 de 2023, se notificó una sola detección de influenza A(H3N2). No se registraron detecciones de VRS, con circulación del virus parainfluenza durante el período del informe (Gráficos 1 y 2). La actividad de la influenza se mantuvo en niveles basales en el promedio de años anteriores (Gráfico 3). El porcentaje de positividad del SARS-CoV-2 (24,5 %) se mantuvo estable en comparación con la semana pasada (Gráfico 2). El número de casos de IRAG por cada 100 hospitalizaciones se mantuvo sin cambios en los niveles basales (Gráfico 4). Los casos de neumonía disminuyeron a niveles de baja intensidad (Gráfico 5), mientras que el número de infecciones respiratorias agudas se mantuvo en niveles basales (Gráfico 6).

Graph 1. Jamaica: Influenza virus distribution

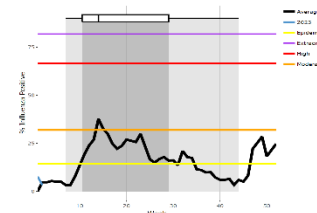
EW 2, 2015-23

Distribución de virus influenza SE 2, 2015-23



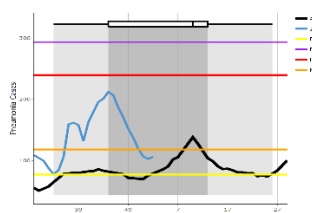
Graph 3. Jamaica: Percent positivity for influenza, EW 2, 2023
(compared to 2010-22)

Porcentaje de positividad de influenza, SE 2 de 2023
(comparado con 2010-22)



Graph 5. Jamaica: Number of pneumonia cases, EW 2, 2023
(compared to 2014-22)

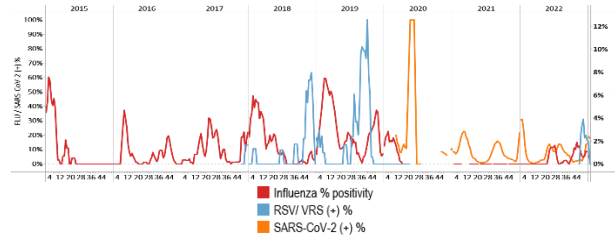
Número de casos de neumonía, SE 2, 2023
(comparado con 2014-22)



Graph 2. Jamaica: Influenza, RSV, and SARS-CoV-2 distribution,

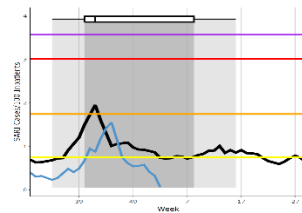
EW 2, 2015-23

Distribución de los virus influenza, VRS y SARS-CoV-2, SE 2, 2015-23



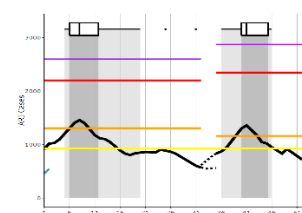
Graph 4. Jamaica: SARI cases/100 hospitalizations,
EW 2, 2023 (compared to 2011-22)

Casos de IRAG/100 hospitalizaciones, SE 2 de 2023
(comparado con 2011-22)



Graph 6. Jamaica: Number of ARI cases, EW 2, 2023
(compared to 2011-22)

Número de casos de IRA, SE 2 de 2023
(comparado con 2011-22)



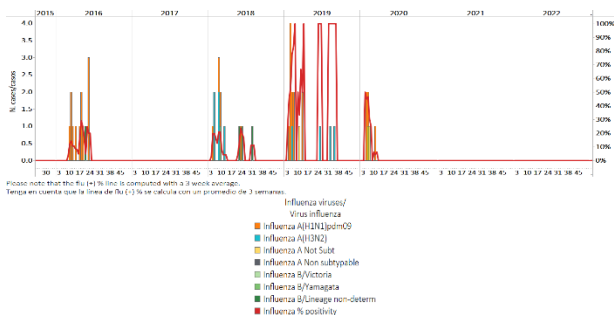


Saint Lucia / Santa Lucía

During EW 2 2023, no samples were reported for influenza or respiratory syncytial virus. Of 342 samples analyzed for SARS-CoV-2, 9.4% tested positive, increasing compared to previous weeks (Graphs 1, 2, and 3). Influenza-like illness (ILI) cases among children under five years and persons five and older were at baseline levels (Graphs 4 and 5). Severe acute respiratory infection cases / 100 hospitalizations continued at baseline levels (Graph 6). / Durante la SE 2 de 2023, no se reportaron muestras para influenza ni para virus respiratorio sincitial. De 342 muestras analizadas para SARS-CoV-2, el 9,4 % resultaron positivas, un aumento en comparación con las semanas previas (Gráficos 1, 2 y 3). El número de casos de enfermedad tipo influenza (ETI) en niños menores de cinco años y en personas de cinco años y mayores se ubicó en los niveles basales (Gráficos 4 y 5). El número de casos de infección respiratoria aguda grave por cada 100 hospitalizaciones continuó en los niveles basales (Gráfico 6).

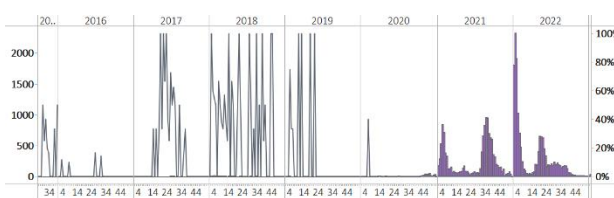
Graph 1. Saint Lucia: Influenza virus distribution, EW 2, 2015-23

Distribución del virus de la influenza, SE 2, 2015-23



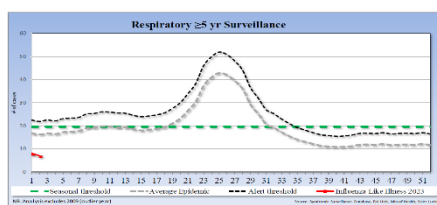
Graph 3. Saint Lucia: RSV, SARS-CoV-2, and other respiratory viruses distribution, EW 2, 2015-23

Distribución del VRS, SARS-CoV-2 y otros virus respiratorios, SE 2, 2015-23



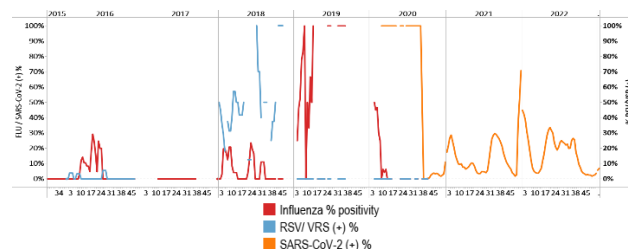
Graph 5. Saint Lucia: ILI case distribution among the ≥ 5 years of age, EW 2, 2023 (compared to 2016-22)

Número de casos de ETI en los ≥ 5 años, SE 2, 2023 (comparado con 2016-22)



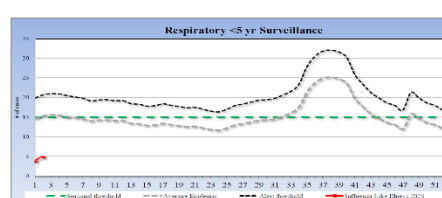
Graph 2. Saint Lucia: Influenza, RSV, and SARS-CoV-2 virus distribution, EW 2, 2015-23

Distribución de los virus influenza, VRS y SARS-CoV-2, SE 2, 2015-23



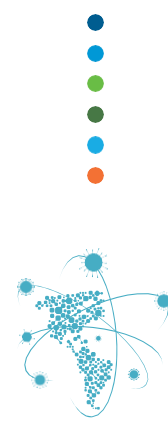
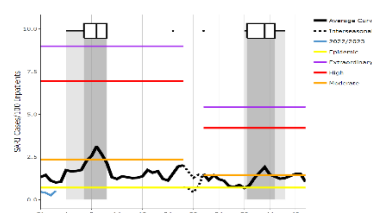
Graph 4. Saint Lucia: ILI case distribution among the < 5 years of age, EW 2, 2023 (compared to 2016-22)

Distribución de ETI entre los <5 años, SE 2, 2023 (comparado con 2016-22)



Graph 6. Saint Lucia: SARI cases/100 hospitalizations, EW 2, 2022 (compared to 2016-21)

Casos de IRAG por cada 100 hospitalizaciones, SE 2 de 2022 (comparado con 2016-21)





SUBREGION
CENTRAL AMERICA / AMÉRICA CENTRAL

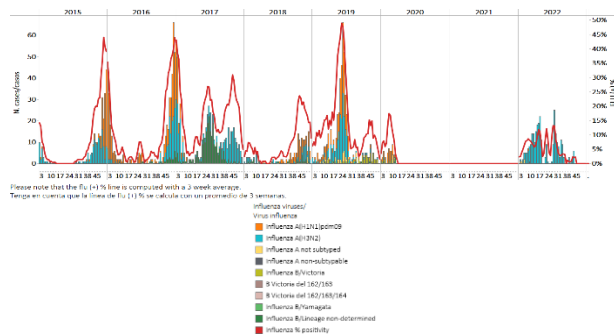




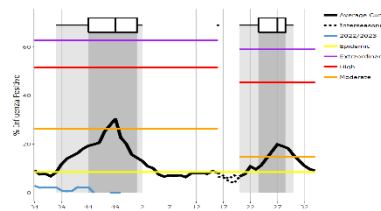
Costa Rica

Since EW 43, 2022, when influenza A(H3N2) was reported, no detections have been registered. During EW 2 2023, no samples were analyzed for influenza or RSV. (Graphs 1, 2, and 3). One sample was analyzed for SARS-CoV-2 and tested positive (Graphs 2 and 4). SARI cases remained unchanged at baseline levels (Graph 5). / Desde la SE 43 de 2022, cuando se reportó influenza A(H3N2), no se han registrado detecciones. Durante la SE 2 de 2023, no se analizaron muestras para influenza o VRS. (Gráficos 1, 2 y 3). Una muestra se analizó para SARS-CoV-2 y resultó positiva (Gráficos 2 y 4). El número de casos de IRAG se mantuvo sin cambios, ubicándose en los niveles basales (Gráfico 5).

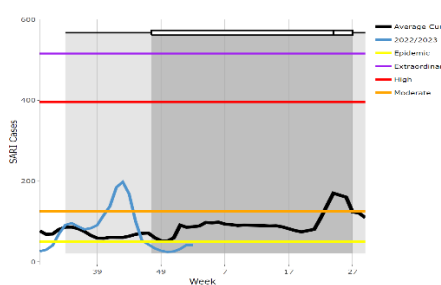
Graph 1. Costa Rica: Influenza virus distribution,
EW 2, 2015-23
Distribución de virus influenza por SE 2, 2015-23



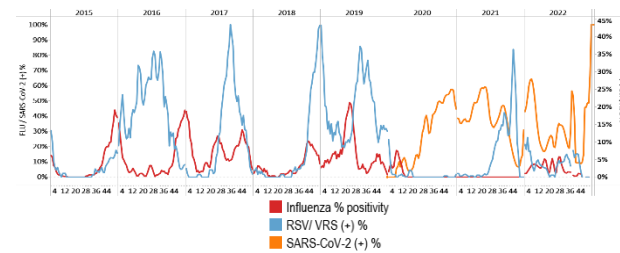
Graph 3. Costa Rica: Percent positivity for influenza, EW 2, 2023
(compared to 2011-22)
Porcentaje de positividad de influenza, SE 2 de 2023
(comparado con 2011-22)



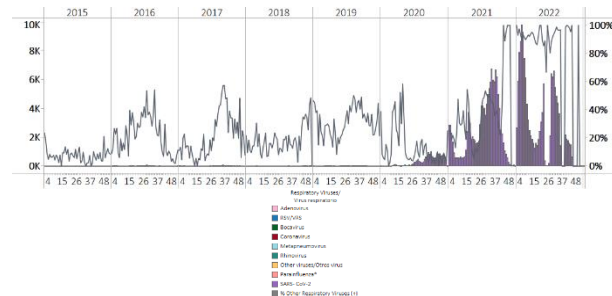
Graph 5. Costa Rica: Number of SARI cases, EW 2, 2023
(compared to 2013-22)
Número de casos de IRAG, SE 2 de 2023 (comparado con 2013-22)



Graph 2. Costa Rica: Influenza, RSV, and SARS-CoV-2 distribution,
EW 2, 2015-23
Distribución de los virus influenza, VRS y SARS-CoV-2, SE 2, 2015-23



Graph 4. Costa Rica: RSV,SARS-CoV-2, and other respiratory viruses distribution, EW 2 2015-23
Distribución del VRS, SARS-CoV-2 y otros virus respiratorios, SE 2, 2015-23

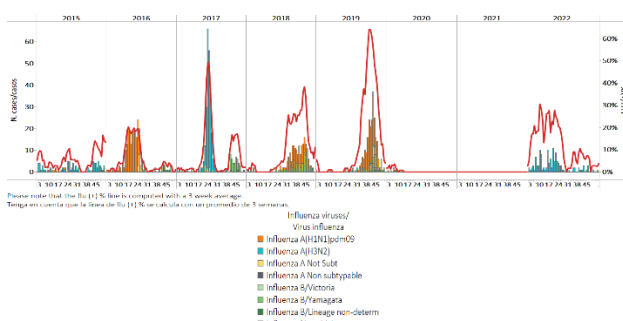




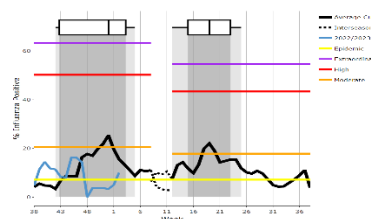
El Salvador

As of EW 2 2023, no influenza detections were recorded, with the influenza A(H3N2) virus registered in previous weeks. Influenza activity was at baseline levels (Graphs 1, 2, and 3). No respiratory syncytial virus detections were reported, with a single adenovirus detection recorded; in addition, nine samples were analyzed for SARS-CoV-2, and none tested positive (Graph 4). SARI cases / 100 hospitalizations remained stable at low-intensity levels (Graph 5). / En la SE 2 de 2023 no se registraron detecciones de influenza, con registro de influenza A(H3N2) en semanas previas. La actividad de la influenza se ubicó los niveles basales (Gráficos 1, 2 y 3). No se reportaron detecciones de virus respiratorio sincitial, con una sola detección de adenovirus registrada; además, se analizaron nueve muestras para SARS-CoV-2 y ninguna resultó positiva (Gráfico 4). El número de casos de IRAG por cada 100 hospitalizaciones se mantuvo estable en niveles de baja intensidad (Gráfico 5).

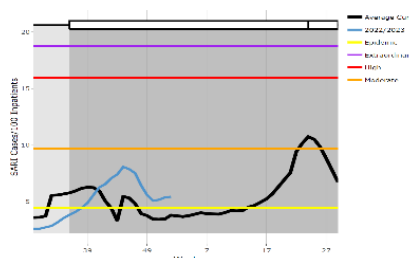
Graph 1. El Salvador: Influenza virus distribution, EW 2, 2015-23
Distribución de virus influenza, SE 2, 2015-23



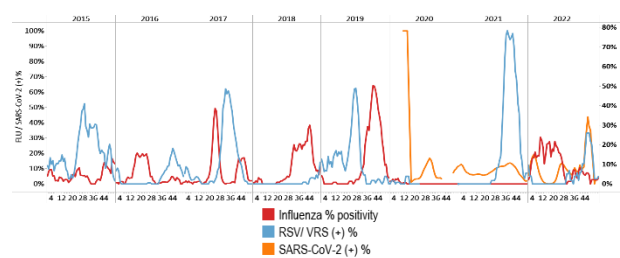
Graph 3. El Salvador: Percent positivity for influenza, EW 2, 2023 (compared to 2010-22)
Porcentaje de positividad de influenza, SE 2 de 2023 (comparación 2010-22)



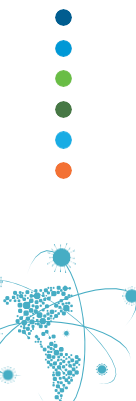
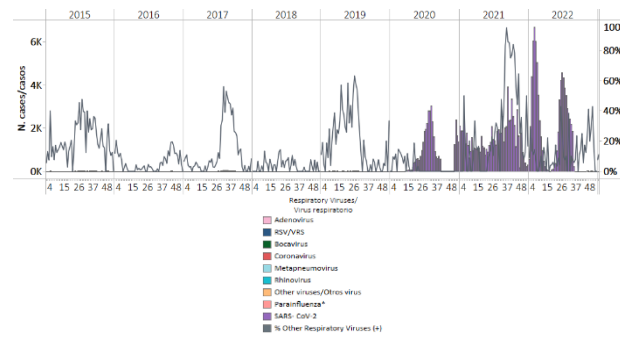
Graph 5. El Salvador: Number of SARI cases / 100 inpatients EW 1, 2023 (compared to 2016-2022)
Número de casos de IRAG / 100 hospitalizaciones, SE 1 de 2023 (comparado con 2016-22)



Graph 2. El Salvador: Influenza, RSV, and SARS-CoV-2 distribution, EW 2 2015-23
Distribución de los virus influenza, VRS y SARS-CoV-2, SE 2, 2015-23



Graph 4. El Salvador: RSV, SARS-CoV-2, and other respiratory viruses distribution, EW 2, 2015-23
Distribución del VRS, SARS-CoV-2 y otros virus respiratorios, SE 2, 2015-23

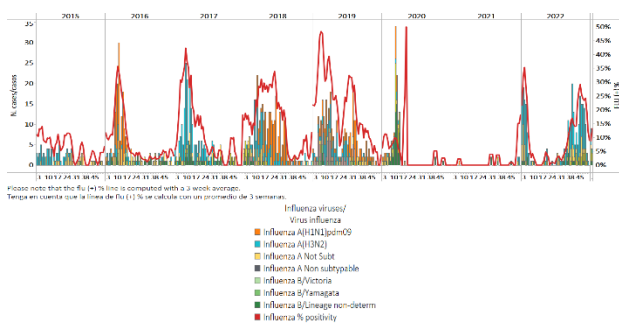




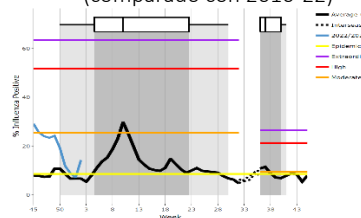
Guatemala

During EW 2 2023, influenza B/Victoria and A(H3N2) viruses co-circulated. Influenza activity increased, remaining at low-intensity levels. In addition, respiratory syncytial virus detections were recorded at sentinel sites with decreased activity at similar levels to those registered in previous seasons; rhinovirus, parainfluenza, and coronavirus were co-circulated during the reported period. Among 588 samples analyzed for SARS-CoV-2, 81 tested positive (13.8%), which increased compared to the previously registered (Graphs 1, 2, 3, and 4). Influenza-like illness/1000 outpatients remained stable at moderate-intensity levels (Graph 5), while severe acute respiratory infections/100 hospitalizations continued at low-intensity levels (Graph 6). /Durante la SE 2 de 2023, circularon concurrentemente los virus influenza B/Victoria y A(H3N2). La actividad de la influenza aumentó, permaneciendo en niveles de baja intensidad. Además, en los sitios centinela se registraron detecciones de virus respiratorio sincitial con una disminución de la actividad ubicándose en niveles similares a los registrados en temporadas anteriores; rinovirus, parainfluenza y coronavirus circularon simultáneamente durante el período de reporte. De 588 muestras analizadas para SARS-CoV-2, 81 resultaron positivas (13.8 %), un aumento con respecto al porcentaje registrado previamente (Gráficos 1, 2, 3 y 4). El número de casos de enfermedad tipo influenza por cada 1000 pacientes ambulatorios se mantuvo estable en niveles de moderada intensidad (Gráfico 5); mientras que el número de infecciones respiratorias agudas graves por cada 100 hospitalizaciones continuó en niveles de baja intensidad (Gráfico 6).

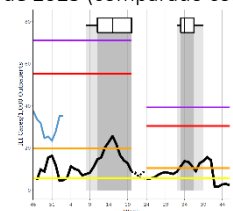
Graph 1. Guatemala: Influenza virus distribution, EW 2, 2015-23
Distribución de influenza, SE 2, 2015-23



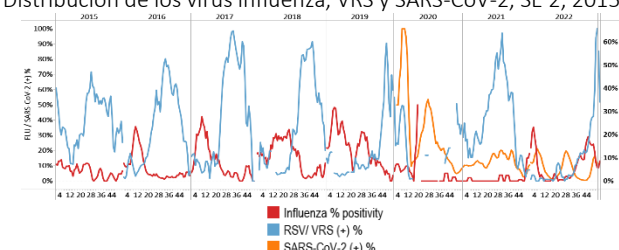
Graph 3. Guatemala: Percentage positivity for influenza, EW 2, 2023 (compared to 2010-22)
Porcentaje de positividad de influenza, SE 2 de 2023 (comparado con 2010-22)



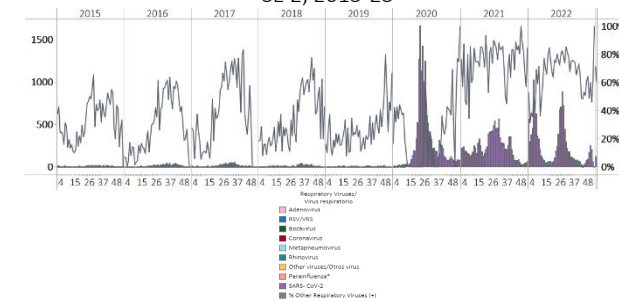
Graph 5. Guatemala: ILI cases/1000 outpatients, EW 2, 2023 (compared to 2015-22)
Caso de ETI por cada 1000 consultas ambulatorias, SE 2 de 2023 (comparado con 2015-22)



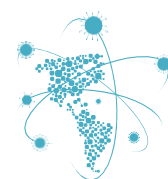
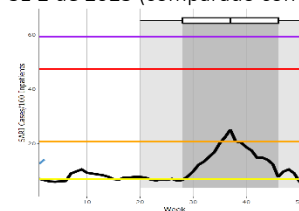
Graph 2. Guatemala: Influenza, RSV, and SARS-CoV-2 distribution, EW 2, 2015-23
Distribución de los virus influenza, VRS y SARS-CoV-2, SE 2, 2015-23



Graph 4. Guatemala: RSV, SARS-CoV-2, and other respiratory viruses distribution, EW 2, 2015-23
Distribución del VRS, SARS-CoV-2 y otros virus respiratorios, SE 2, 2015-23



Graph 6. Guatemala: Number of SARI cases / 100 inpatients, EW 2, 2023 (compared to 2017-22)
Número de casos de IRAG / 100 hospitalizaciones, SE 2 de 2023 (comparado con 2017-22)

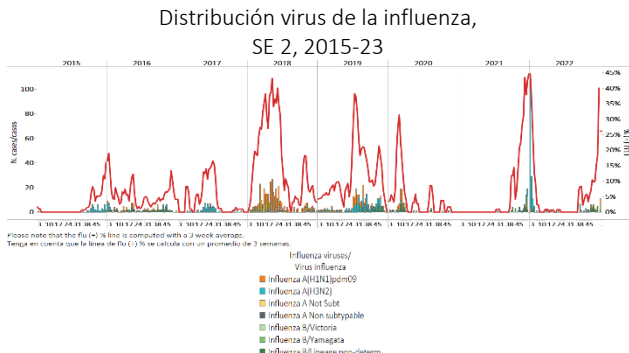




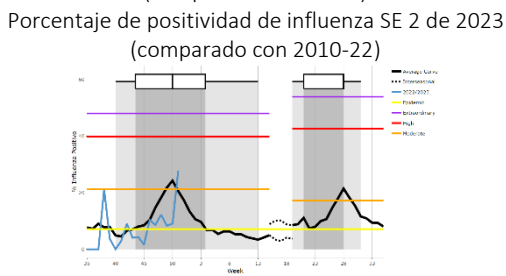
Honduras

In EW 2 2023, no influenza detections were reported; influenza A(H1N1)pdm09 viruses (where subtyping was performed) circulated in the previous week. Influenza activity remained elevated at moderate-intensity levels for this time of year. No RSV detections were registered (Graphs 1, 2, and 3). At the national level, ten samples were analyzed for SARS-CoV-2, and two (20.0%) tested positive (Graphs 2 and 4), an increase compared to the previous week. Severe acute respiratory infections remained below the epidemic levels; similarly, influenza-like illness were below the average of prior years at baseline levels (Graphs 5 and 6). / En la SE 2 de 2023 no se reportaron detecciones de influenza; los virus influenza A(H1N1)pdm09 (en muestras con subtipo determinado) circularon en la semana previa. La actividad de la influenza se mantuvo elevada en niveles de intensidad moderada para esta época del año. No se registraron detecciones de VRS (Gráficos 1, 2 y 3). A nivel nacional, se analizaron diez muestras para SARS-CoV-2 y dos (20,0 %) resultaron positivas (Gráficos 2 y 4), un incremento respecto a la semana anterior. El número de infecciones respiratorias agudas graves permaneció por debajo de los niveles epidémicos; de manera similar, el número de consultas por enfermedad tipo influenza estuvo por debajo del promedio de años anteriores en los niveles basales (Gráficos 5 y 6).

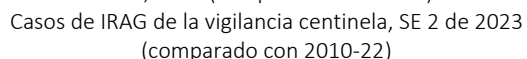
Graph 1. Honduras: Influenza virus distribution, EW 2, 2015-23



Graph 3. Honduras: Percent positivity for influenza, EW 2, 2023 (compared to 2010-22)

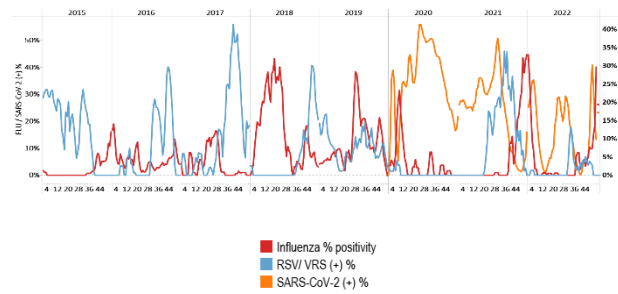


Graph 5. Honduras: SARI cases, from sentinel surveillance, EW 2, 2023 (compared to 2010-22)



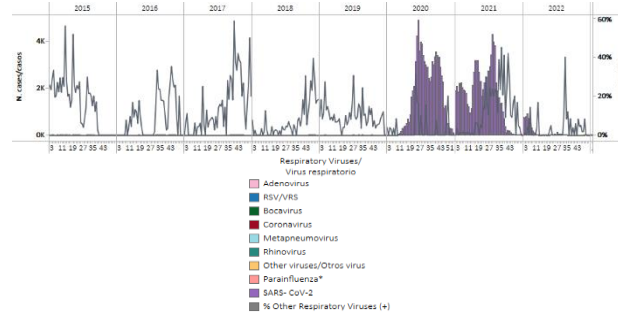
Graph 2. Honduras: Influenza, RSV, and SARS-CoV-2 distribution, EW 2, 2015-23

Distribución de los virus influenza, VRS y SARS-CoV-2, SE 2, 2015-23



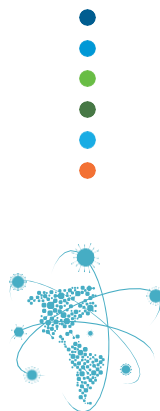
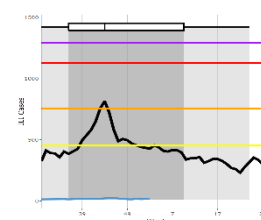
Graph 4. Honduras: RSV, SARS-CoV-2, and other respiratory virus distribution, EW 2, 2015-23

Distribución del VRS, SARS-CoV-2 y otros virus respiratorios, SE 2, 2015-23



Graph 6. Honduras: ILI cases, from sentinel surveillance, EW 2, 2023 (compared to 2010-22)

Casos de ETI de la vigilancia centinela, SE 2 de 2023 (comparado con 2010-22)

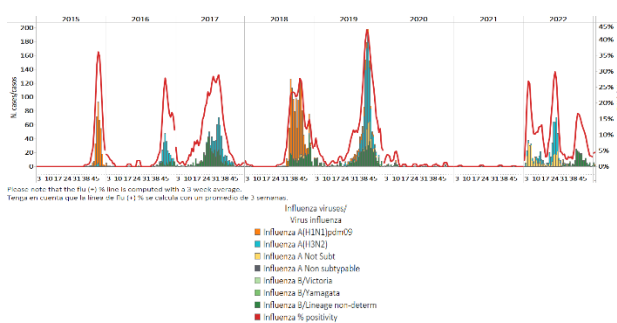




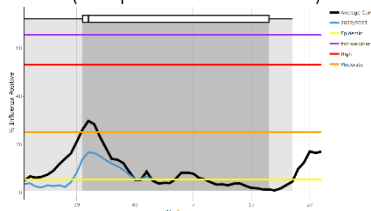
Nicaragua

During EW 2 2023, influenza B (lineage undetermined) and A(H1N1)pdm09 detections were recorded. Influenza activity was below the average of previous years at low-intensity levels. No respiratory syncytial virus detections were registered during the reporting period (Graphs 1, 2, and 3). SARS-CoV-2 percent positivity remained stable compared to the percent reported by EW 1 (Graphs 2 and 4). Of 877 samples analyzed for SARS-CoV-2, 3.9% tested positive. / Durante la SE 2 de 2023, se registraron detecciones de los virus influenza B (linaje indeterminado) y A(H1N1)pdm09. La actividad de la influenza estuvo por debajo del promedio de años anteriores en niveles de baja intensidad. No se registraron detecciones de virus respiratorio sincitial durante el período de reporte (Gráficos 1, 2 y 3). El porcentaje de positividad de SARS-CoV-2 se mantuvo estable en comparación con el porcentaje informado para la SE 1 (Gráficos 2 y 4). De 877 muestras analizadas para SARS-CoV-2, el 3,9 % resultaron positivas.

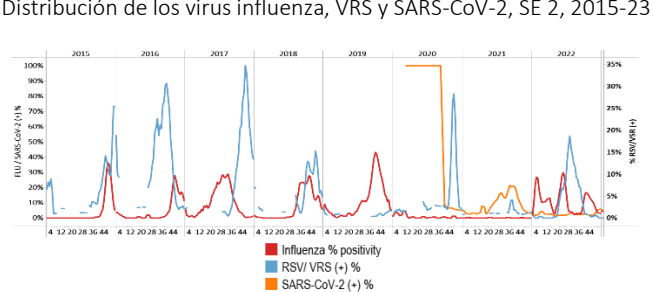
Graph 1. Nicaragua: Influenza virus distribution, EW 2, 2015-23
Distribución de influenza, SE 2, 2015-23



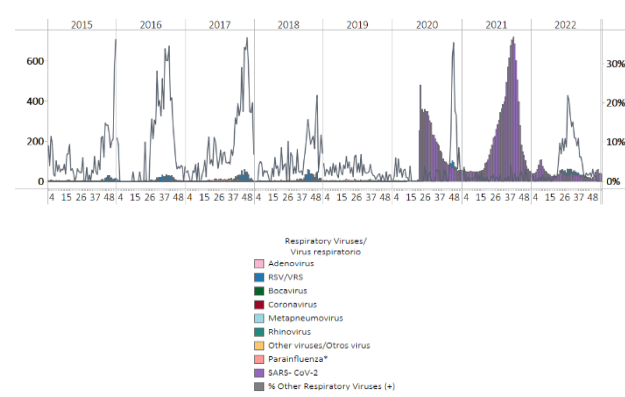
Graph 3. Nicaragua: Percent positivity for influenza, EW 2, 2023 (compared to 2010-22)
Porcentaje de positividad, SE 2 de 2023 (comparado con 2010-22)



Graph 2. Nicaragua: Influenza, RSV, and SARS-CoV-2 distribution, EW 2, 2015-23
Distribución de los virus influenza, VRS y SARS-CoV-2, SE 2, 2015-23



Graph 4. Nicaragua: RSV and other respiratory virus distribution, EW 2, 2015-23
Distribución del VRS y otros virus respiratorios, SE 2, 2015-23





2

3

4

5

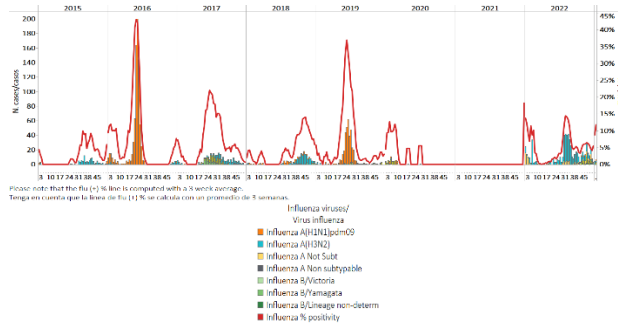
6

7

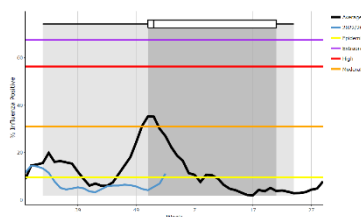
Panama / Panamá

During EW 2 2023, a similar number of detections of influenza B/Victoria, A(H3N2), and A(H1N1)pdm09 were recorded at sentinel sites. Influenza activity was below the average of previous years at low-intensity levels. In addition, respiratory syncytial virus activity was low compared to previous seasons' peaks (Graphs 1, 2, 3, and 4). During the reporting period, the co-circulation of the rhinovirus and parainfluenza viruses was recorded at lower levels compared to previous weeks. Among 93 samples analyzed for SARS-CoV-2, five (5.4%) tested positive, with decreased percent positivity (Graphs 2 and 4). / Durante la SE 2 de 2023, en los sitios centinela se registró un número similar de detecciones de influenza B/Victoria, A(H3N2) y A(H1N1)pdm09. La actividad de la influenza estuvo por debajo del promedio de años anteriores en niveles de baja intensidad. Además, la actividad del virus respiratorio sincitial estuvo baja en comparación con los picos de temporadas anteriores (Gráficos 1, 2, 3 y 4). Durante el período del informe, se registró la circulación concurrente de los virus rinovirus y parainfluenza en niveles más bajos en comparación con las semanas previas. De 93 muestras analizadas para SARS-CoV-2, cinco (5,4 %) resultaron positivas, con disminución del porcentaje de positividad (Gráficos 2 y 4).

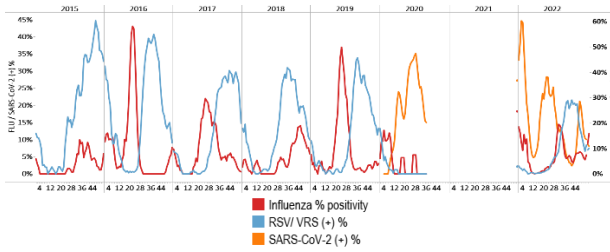
Graph 1. Panama: Influenza virus distribution,
EW 2, 2015-23
Distribución virus de influenza,
SE 2, 2015-23



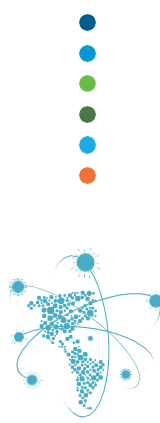
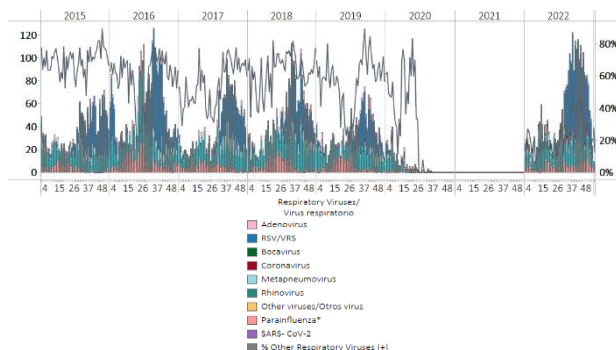
Graph 3. Panama: Percent positivity for influenza, from sentinel surveillance, EW 2, 2023 (compared to 2010-22)
Porcentaje de positividad de influenza, de la vigilancia centinela, SE 2 de 2023 (comparado con 2010-22)



Graph 2. Panama: Influenza, RSV, and SARS-CoV-2 distribution,
EW 2, 2015-23
Distribución de los virus influenza, VRS, y SARS-CoV-2,
SE 2, 2015-23



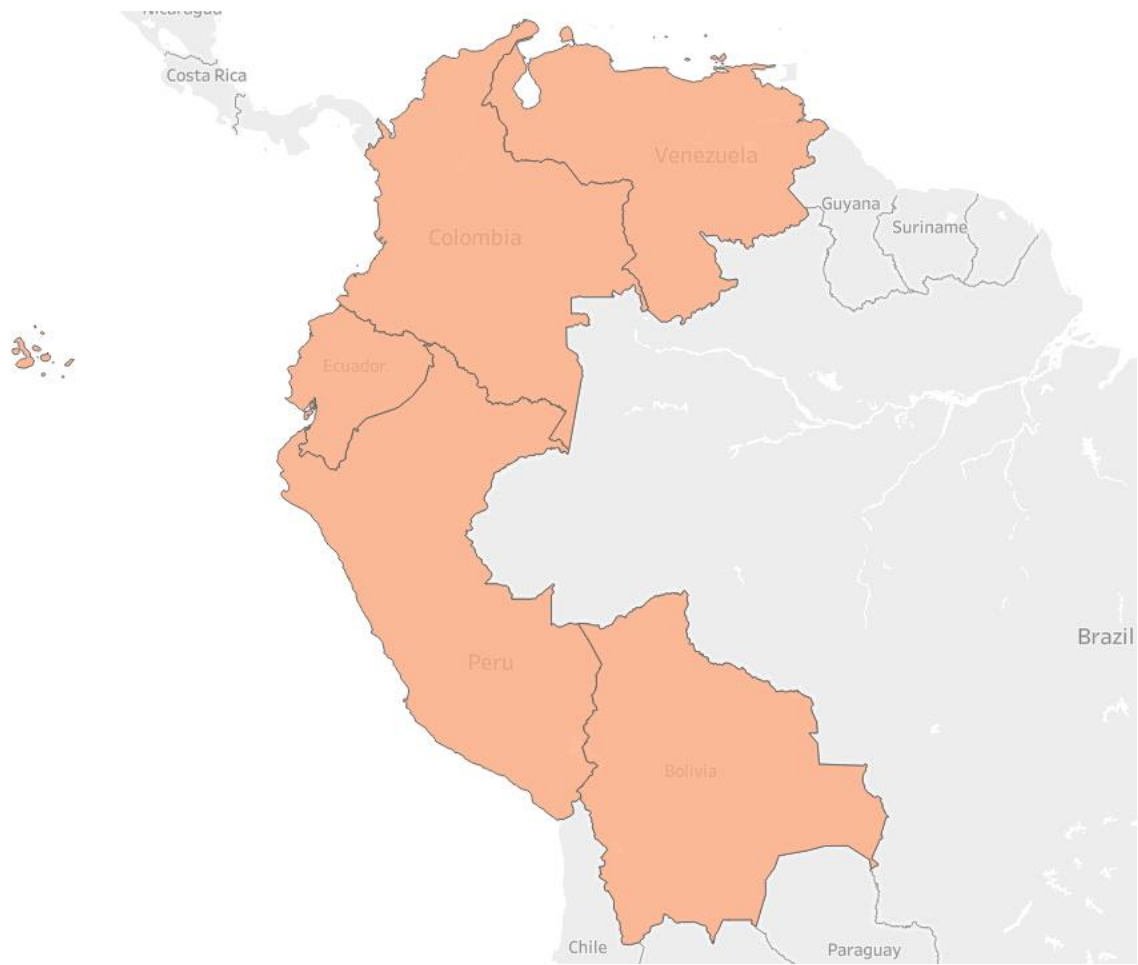
Graph 4. Panama: RSV and other respiratory viruses distribution,
EW 2, 2015-23
Distribución del VRS y otros virus respiratorios, SE 2, 2015-23





**SUBREGION
SOUTH AMERICA / AMÉRICA DEL SUR – ANDEAN COUNTRIES / PAÍSES
ANDINOS**

34

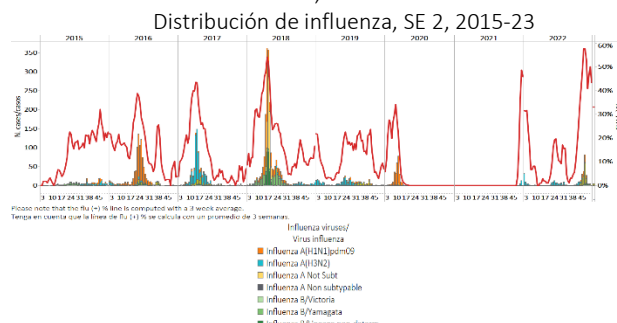




Bolivia

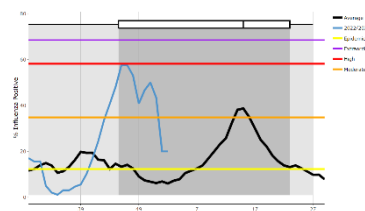
During EW 2 2023, influenza B/Victoria detections were reported (Graph 1). Influenza activity remained stable above historical levels remaining at low-intensity levels for this time of year. No respiratory syncytial virus detections were reported. In contrast, five samples were analyzed for SARS-CoV-2; none tested positive (Graphs 2, 3, and 4). SARI cases / 100 hospitalizations remained unchanged, with activity at moderate-intensity levels (Graph 5). / Durante la SE 2 de 2023, se reportaron detecciones de influenza B linaje Victoria (Gráfico 1). La actividad de la influenza se mantuvo estable por encima de los niveles históricos manteniéndose en niveles de baja intensidad para esta época del año. No se informaron detecciones de virus respiratorio sincitrial. En cambio, se analizaron cinco muestras para SARS-CoV-2; ninguna resultó positiva (Gráficos 2, 3 y 4). El número de casos de IRAG por cada 100 hospitalizaciones se mantuvo sin cambios, con una actividad en niveles de intensidad moderada (Gráfico 5).

Graph 1. Bolivia: Influenza virus distribution, EW 2, 2015-23



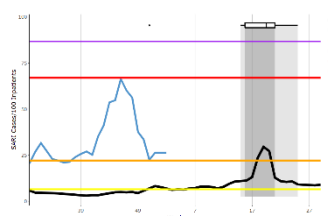
Graph 3. Bolivia: Percent positivity for influenza, from sentinel surveillance; EW 2, 2023 (compared to 2010-22)

Porcentaje de positividad de influenza de la vigilancia centinela; SE 2 de 2023 (comparado con 2010-22)

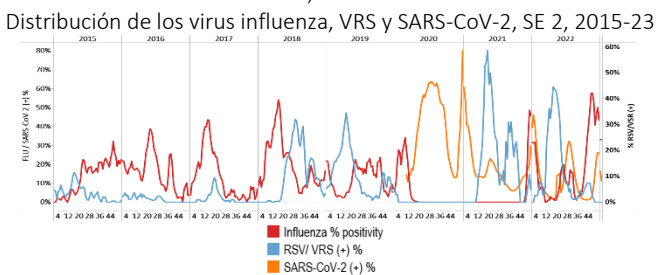


Graph 5. Bolivia: Number of SARI cases / 100 inpatients, EW 2, 2023 (compared to 2015-22)

Número de casos de IRAG / 100 hospitalizaciones, SE 2 de 2023 (comparado con 2015-22)

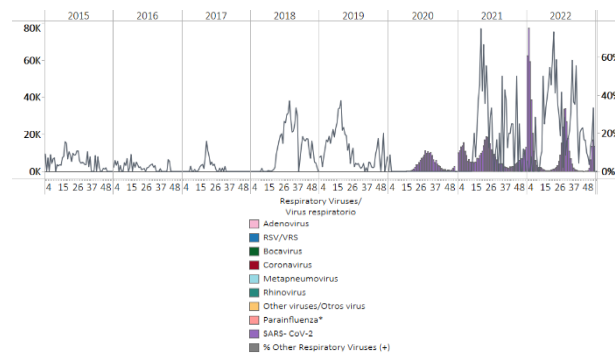


Graph 2. Bolivia: Influenza, RSV, and SARS-CoV-2 distribution, EW 2, 2015-23



Graph 4. Bolivia: RSV, SARS-CoV-2, and other respiratory viruses distribution, EW 2, 2015-23

Distribución del VRS, SARS-CoV-2 y otros virus respiratorios, SE 2, 2015-23



2

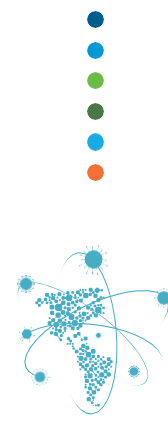
3

4

5

6

7

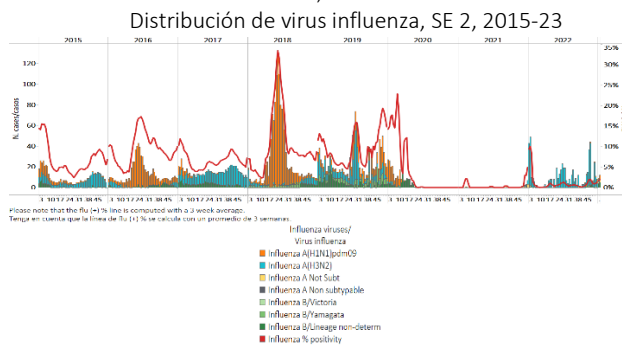




Colombia

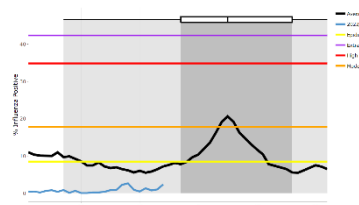
During EW 2 2023, influenza B (lineage undetermined) and A(H1N1)pdm09 detections (where subtyping was performed) were similarly detected, with activity at baseline levels. Respiratory syncytial virus detections were recorded with percent positivity at low levels compared to previous years (Graphs 1, 2, and 3). SARS-CoV-2 percent positivity (11.5%) decreased compared to the prior registered, with fewer detections than reported last week (Graphs 2 and 4). The number of SARI cases increased to epidemic levels at low-intensity levels (Graph 5), while acute respiratory infection cases dropped and were at low-intensity levels (Graph 6). / Durante la SE 2 de 2023, las detecciones de influenza B (linaje indeterminado) y A(H1N1)pdm09 (en muestras con subtipo determinado) se detectaron de manera similar, con una actividad en niveles basales. Las detecciones de virus respiratorio sincitial se registraron con un porcentaje de positividad en niveles bajos en comparación con años anteriores (Gráficos 1, 2 y 3). El porcentaje de positividad de SARS-CoV-2 (11,5 %) disminuyó en comparación con el registro previo, con menos detecciones que las informadas la semana pasada (Gráficos 2 y 4). El número de casos de IRAG aumentó a niveles epidémicos ubicándose en niveles de baja intensidad (Gráfico 5), mientras que el número de casos de infección respiratoria aguda disminuyó y se ubicaron en niveles de baja intensidad (Gráfico 6).

Graph 1. Colombia: Influenza virus distribution, EW 2, 2015-23



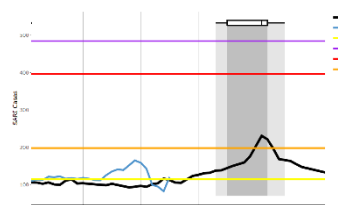
Graph 3. Colombia: Percent positivity for influenza, EW 2, 2023 (compared to 2010-22)

Porcentaje de positividad de influenza, SE 2 de 2023 (comparado con 2010-22)

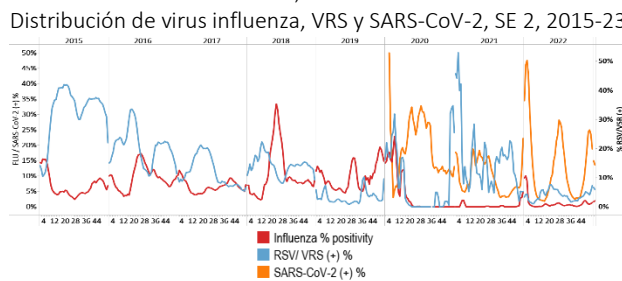


Graph 5: Colombia: SARI cases, EW 2, 2023 (compared to 2013-22)

Casos de IRAG, SE 2 de 2023 (comparado con 2013-22)

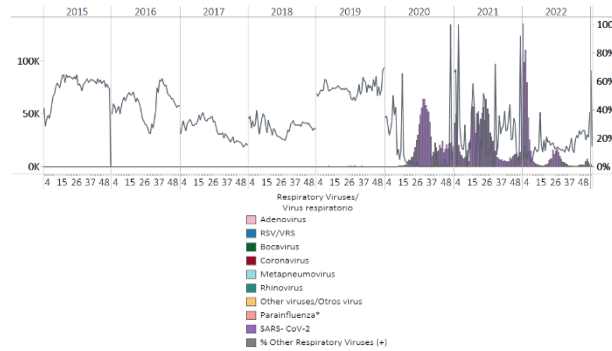


Graph 2. Colombia: Influenza, RSV and SARS-CoV-2 distribution, EW 2, 2015-23



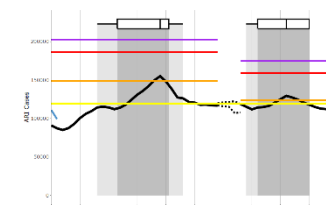
Graph 4. Colombia: RSV, SARS-CoV-2, and other respiratory virus distribution, EW 2, 2015-23

Distribución del VRS, SARS-CoV-2 y otros virus respiratorios, SE 2 2015-23



Graph 6. Colombia: Number of ARI cases EW 2, 2023 (compared to 2012-22)

Número de casos de IRA SE 2 de 2023 (comparado con 2012-21)



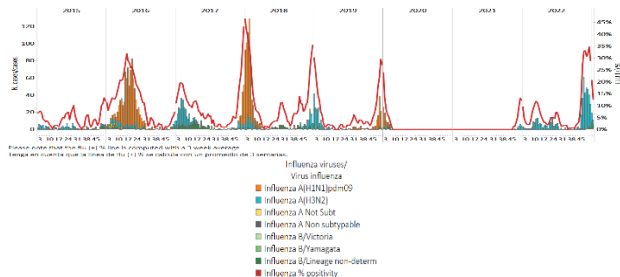


Ecuador

In EW 2 2023, influenza A and B viruses were detected with roughly equal proportions of influenza B (lineage undetermined) and influenza A(H3N2) among the subtyped viruses across sentinel sites. However, influenza activity decreased below the average of previous years at low-intensity levels. No respiratory syncytial virus detections were recorded (Graphs 1, 2, and 3). SARS-CoV-2 percent positivity (17.4%) decreased compared to previously registered (Graphs 2 and 4). SARI cases / 100 inpatients remained stable at moderate-intensity levels for this time of year (Graph 5). Among 159 sampled SARI cases, 12.6% were positive for SARS-CoV-2, and 6.3% tested positive for influenza. Of 159 SARI cases, 17% had a history of influenza and SARS-CoV-2 vaccination. Of 124 ICU admissions, 11.3% were SARI cases. Most SARI cases occurred in children under five years. Pneumonia cases stayed unchanged at a low-intensity level (Graph 6). / En la SE 2 de 2023, en los sitios centinela los virus influenza A y B se detectaron con proporciones aproximadamente iguales de influenza B (linaje indeterminado) e influenza A (H3N2) entre los virus con subtipo determinado. Sin embargo, la actividad de la influenza disminuyó por debajo del promedio de años anteriores ubicándose en niveles de baja intensidad. No se registraron detecciones de virus respiratorio sincitial (Gráficos 1, 2 y 3). El porcentaje de positividad del SARS-CoV-2 (17,4 %) disminuyó en comparación con el registrado previamente (Gráficos 2 y 4). El número de casos de IRAG por cada 100 hospitalizados se mantuvo estable en niveles de intensidad moderada para esta época del año (Gráfico 5). De 159 casos de IRAG con muestra, el 12,6 % resultaron positivos para SARS-CoV-2 y el 6,3 % fueron positivos para influenza. De 159 casos de IRAG, el 17 % tenía antecedentes de vacunación contra la influenza y el SARS-CoV-2. De 124 admisiones en la UCI, el 11,3 % fueron casos de IRAG. La mayoría de los casos de IRAG ocurrieron en niños menores de cinco años. El número de casos de neumonía se mantuvo sin cambios en un nivel de baja intensidad (Gráfico 6).

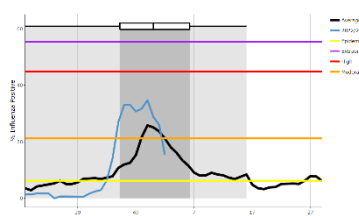
Graph 1. Ecuador: Influenza virus distribution from SARI sentinel cases, EW 2, 2015-23

Distribución de virus influenza de casos de IRAG centinela
SE 2, 2015-23



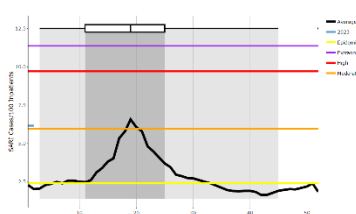
Graph 3. Ecuador: Percent positivity for influenza, EW 2, 2023 (compared to 2011-22)

Porcentaje de positividad de influenza, SE 2 de 2023 (comparado con 2011-22)



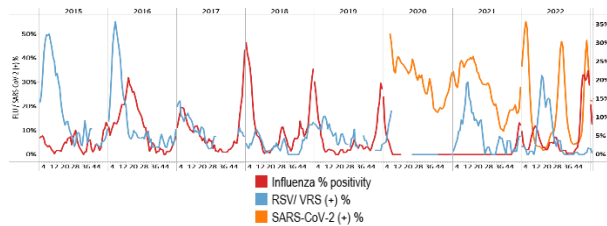
Graph 5. Ecuador: Number of SARI cases / 100 inpatients, EW 2, 2023 (compared to 2015-22)

Número de casos de IRAG / 100 hospitalizaciones, SE 2 de 2022 (comparado con 2015-21)



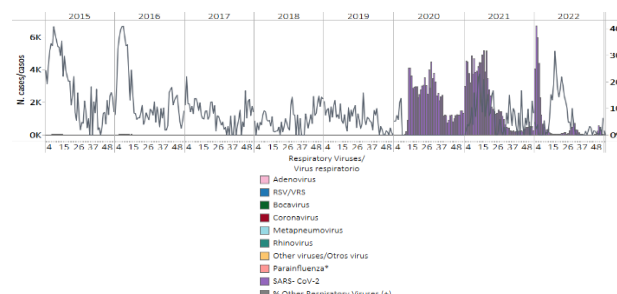
Graph 2. Ecuador: Influenza, RSV, and SARS-CoV-2 distribution EW 2, 2015-23

Distribución de los virus influenza, VRS y SARS-CoV-2, SE 2, 2015-23



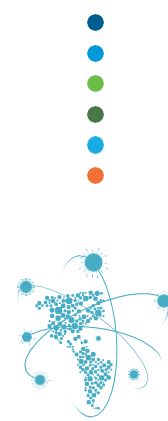
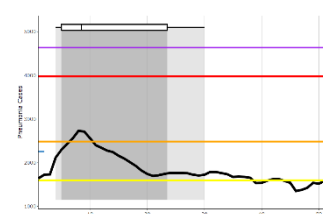
Graph 4. Ecuador: RSV, SARS-CoV-2, and other respiratory viruses distribution, (non-sentinel sites) EW 2, 2015-23

Distribución del VRS, SARS-CoV-2 y otros virus respiratorios, (sitios no centinela) SE 2, 2015-23



Graph 6. Ecuador: Pneumonia cases, EW 2, 2023 (compared to 2013-22)

Casos de neumonía, SE 2 de 2022 (comparado con 2013-21)

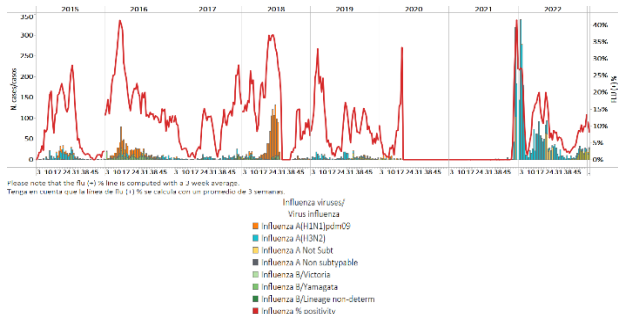




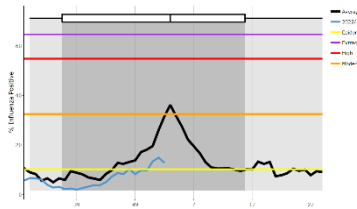
Peru / Perú

During EW 2 2023, influenza B/Victoria was most frequently detected, followed by A(H3N2) and A(H1N1)pdm09 viruses (Graph 1). Influenza activity increased to epidemic levels, below the average of previous years, at low-intensity levels (Graph 3). No respiratory syncytial virus detections were recorded; SARS-CoV-2 percent positivity (8.0%) continues to decrease (Graphs 2 and 4). SARI cases declined compared to the previous week at low-intensity levels (Graph 5), while influenza-like illness consultations remained stable at low-intensity levels (Graph 6). / Durante la SE 2 de 2023, los virus influenza B/Victoria fueron los más frecuentemente detectados, seguidos de los virus A(H3N2) y A(H1N1)pdm09 (Gráfico 1). La actividad de influenza se ubicó en los niveles epidémicos, por debajo del promedio de años anteriores, en niveles de baja intensidad (Gráfico 3). No se registraron detecciones de virus respiratorio sincitrial; el porcentaje de positividad del SARS-CoV-2 (8.0%) continúa disminuyendo (Gráficos 2 y 4). Los casos de IRAG disminuyeron con respecto a la semana previa, ubicándose en niveles de baja intensidad (Gráfico 5), mientras que las consultas por enfermedad tipo influenza se mantuvieron estables en niveles de baja intensidad (Gráfico 6).

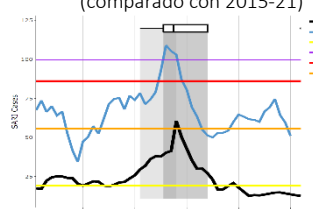
Graph 1. Peru: Influenza virus distribution, EW 2, 2015-23
Distribución de virus influenza, SE 2, 2015-23



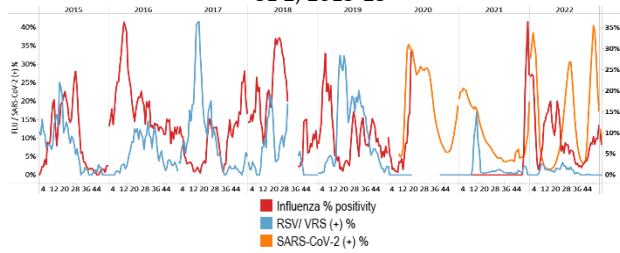
Graph 3. Peru: Percent positivity for influenza, EW 2, 2023
(compared to 2010-22)
Porcentaje de positividad de influenza, SE 2 de 2023
(comparado con 2010-22)



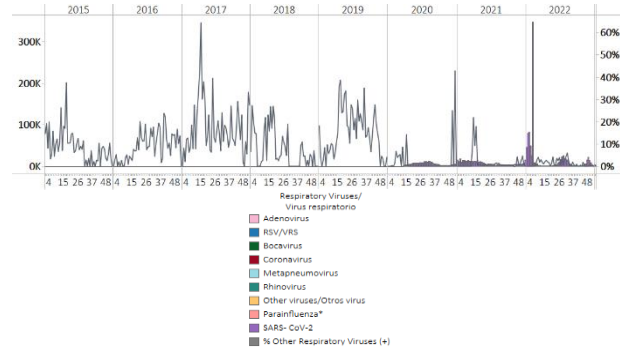
Graph 5. Peru: Number of SARI cases, EW 51, 2022
(compared to 2015-21)
Número de casos IRAG, SE 51 de 2022
(comparado con 2015-21)



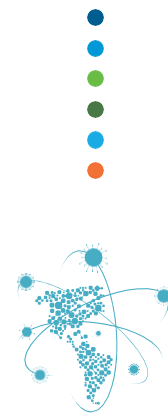
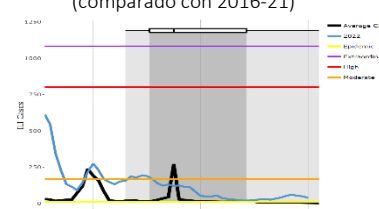
Graph 2. Peru: Influenza, RSV, and SARS-CoV-2 distribution,
EW 2, 2015-23
Distribución de virus influenza, VRS y SARS-CoV-2,
SE 2, 2015-23



Graph 4. Peru: RSV, SARS-CoV-2, and other respiratory viruses
distribution, EW 2, 2015-23
Distribución del VRS, SARS-CoV-2 y otros virus respiratorios,
SE 2, 2015-23

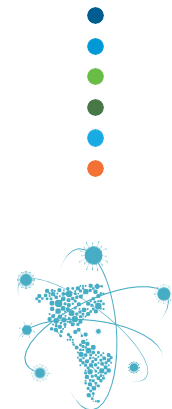


Graph 6. Peru: Number of ILI cases, EW 51, 2022
(compared to 2016-21)
Número de casos ETI, SE 51 de 2022
(comparado con 2016-21)





**SUBREGION
SOUTH AMERICA / AMÉRICA DEL SUR
SOUTH CONE AND BRAZIL / CONO SUR Y BRASIL**

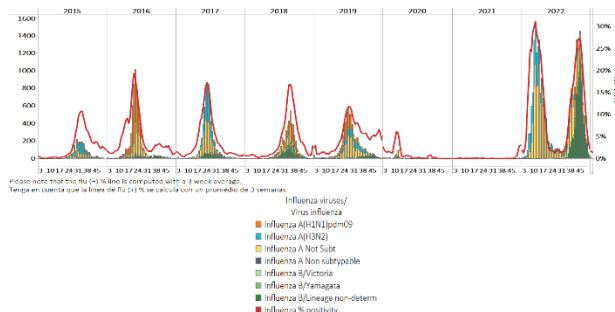




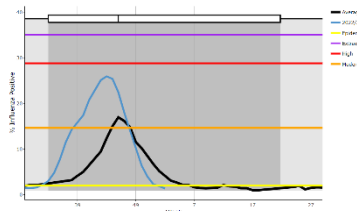
Argentina

During EW 2 2023, nationally, influenza B (lineage undetermined) was reported. Influenza activity decreased below the average of previous seasons at baseline levels (Graphs 1 and 3). No respiratory syncytial virus detections were recorded. SARS-CoV-2 percent positivity (13.1%) decreased (Graphs 2 and 4). In addition, ILI consultations were below the average of previous seasons for this time of year at baseline levels (Graph 5); similarly, the number of SARI cases remained stable at baseline levels (Graph 6). / Durante la SE 2 de 2023, a nivel nacional, se notificó la circulación de influenza B (linaje indeterminado). La actividad de la influenza disminuyó por debajo del promedio de las temporadas previas y se ubicó en los niveles basales (Gráficos 1 y 3). No se registraron detecciones de virus respiratorio sincitial. El porcentaje de positividad del SARS-CoV-2 (13,1 %) disminuyó (Gráficos 2 y 4). Además, las consultas por ETI estuvieron por debajo del promedio de temporadas anteriores para esta época del año en los niveles basales (Gráfico 5); de igual forma, el número de casos de IRAG se mantuvo estable en los niveles basales (Gráfico 6).

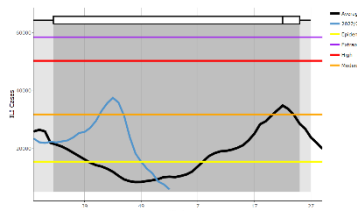
Graph 1. Argentina: Influenza virus distribution, EW 2, 2015-23
Distribución de virus influenza, SE 2, 2015-23



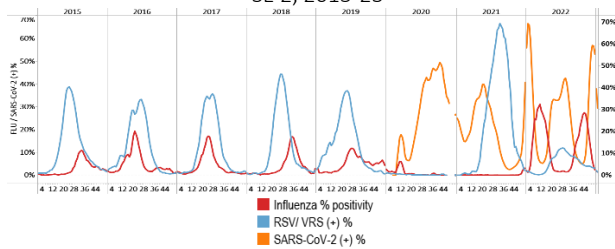
Graph 3. Argentina: Percent positivity for influenza, EW 2, 2023
(compared to 2010-22)
Porcentaje de positividad de influenza, SE 2 de 2023
(comparado con 2010-22)



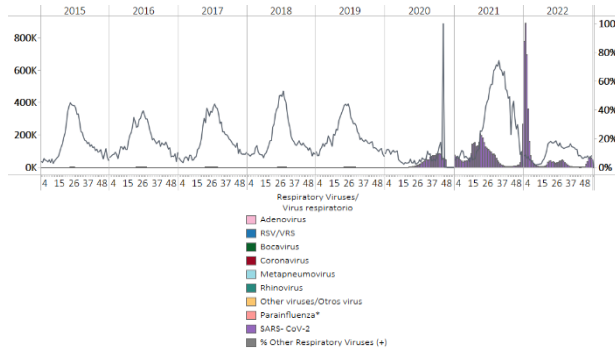
Graph 5. Argentina: Number of ILI cases, EW 2, 2023
(compared to 2012-22)
Número de casos de ETI, SE 2 de 2023
(comparado con 2012-22)



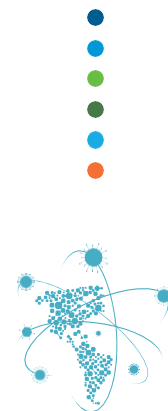
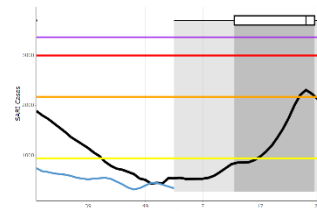
Graph 2. Argentina: Influenza, RSV, and SARS-CoV2 distribution
EW 2, 2015-23
Distribución de virus influenza, VRS y SARS-CoV-2,
SE 2, 2015-23



Graph 4. Argentina: RSV, SARS-CoV-2, and other respiratory virus distribution, EW 2, 2015-23
Distribución del VRS, SARS-CoV-2 y otros virus respiratorios,
SE 2, 2015-23



Graph 6. Argentina: Number of SARI cases, EW 2, 2023
(compared to 2012-22)
Número de casos de IRAG, SE 2 de 2023
(comparado con 2012-22)



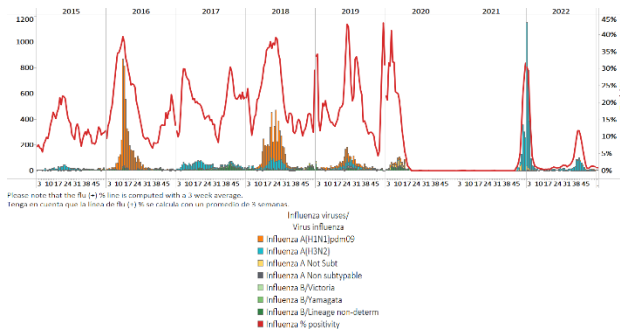


Brazil / Brasil

In EW 2 2023, influenza B (lineage undetermined) detections were reported. Influenza percent positivity (0.7%) remained very low at baseline levels (Graphs 1 and 3). Respiratory syncytial virus activity continued elevated at higher levels than the peak in 2021. SARS-CoV-2 detections and percent positivity (21.4%) decreased compared to previously reported (Graphs 2 and 4). / En la SE 2 de 2023, se reportaron detecciones de influenza B (linaje indeterminado). El porcentaje de positividad de la influenza (0,7 %) se mantuvo muy bajo en los niveles basales (Gráficos 1 y 3). La actividad del virus respiratorio sincitrial continuó elevada a niveles más altos que el pico de 2021. Las detecciones de SARS-CoV-2 y el porcentaje de positividad (21,4 %) disminuyeron en comparación con lo registrado en el reporte previo (Gráficos 2 y 4).

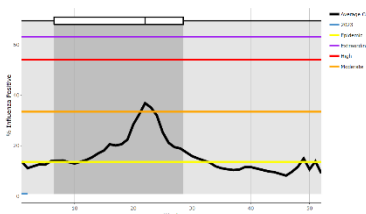
Graph 1. Brazil: All NICs. Influenza virus distribution, EW 2, 2015-23

Distribución de virus influenza, SE 2, 2015-23



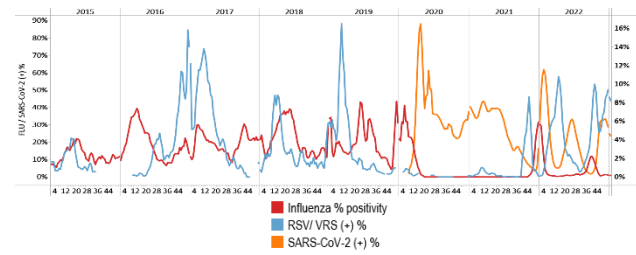
Graph 3. Brazil: Percent positivity for influenza, EW 2, 2023 (compared to 2011-22)

Porcentaje de positividad de influenza, SE 2 de 2023 (comparado con 2011-22)



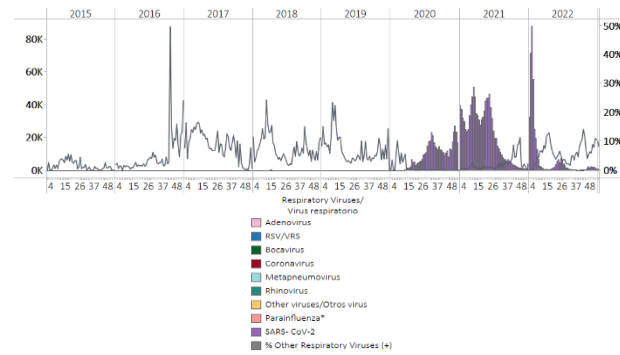
Graph 2. Brazil: All NICs. Influenza, RSV, and SARS-CoV-2, distribution, EW 2, 2015-23

Distribución de los virus influenza, VRS y SARS-CoV-2, SE 2, 2015-23



Graph 4. Brazil: All NICs. RSV, SARS-CoV-2, and other respiratory virus distribution, EW 2, 2015-23

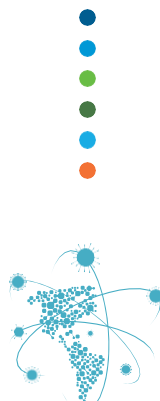
Distribución del VRS, SARS-CoV-2 y otros virus respiratorios, SE 2 2015-23



5

6

7



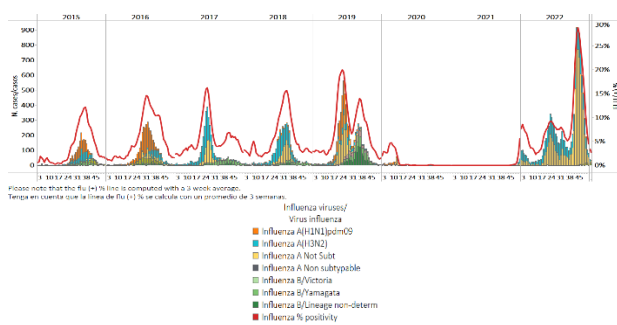


Chile

During EW 2 2023, influenza B/Victoria was more frequently detected, followed by A(H3N2) and A(H1N1)pdm09. Influenza activity decreased, returning to baseline levels (Graphs 1 and 3). Respiratory syncytial virus activity levels and percent positivity increased, with levels above those observed in 2020; SARS-CoV-2 activity increased (6.7%) compared to the previously reported (Graphs 2 and 4). Influenza-like illness visits have continued decreasing at low-intensity levels for this time of year (Graph 5), while severe acute respiratory infection cases / 100 hospitalizations decreased to baseline levels (Graph 6). / Durante la SE 2 de 2023, se detectó con mayor frecuencia influenza B/Victoria, seguida de A(H3N2) y A(H1N1)pdm09. La actividad de la influenza disminuyó, regresando a los niveles basales (Gráficos 1 y 3). Los niveles de actividad del virus respiratorio sincitial y el porcentaje de positividad aumentaron con niveles superiores a los observados en 2020; la actividad del SARS-CoV-2 aumentó (6,7 %) con respecto a lo informado previamente (Gráficos 2 y 4). Las consultas por enfermedad tipo influenza han seguido disminuyendo, ubicándose en niveles de baja intensidad para esta época del año (Gráfico 5), mientras que el número de casos de infección respiratoria aguda grave por cada 100 hospitalizaciones disminuyó, ubicándose en los niveles basales (Gráfico 6).

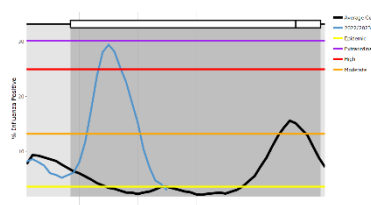
Graph 1. Chile: Influenza virus distribution, EW 2, 2015-23

Distribución de virus de influenza, SE 2, 2015-23



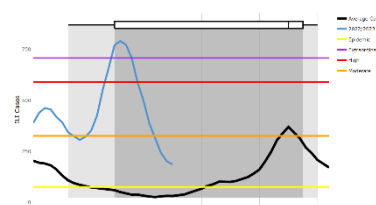
Graph 3. Chile: Percent positivity for influenza, EW 2, 2023
(compared to 2010-22)

Porcentaje de positividad de influenza, SE 2 de 2023
(comparado con 2010-22)



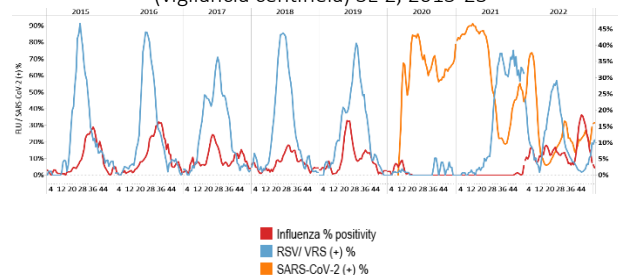
Graph 5. Chile: Number of ILI cases EW 2, 2023
(compared to 2015-22)

Número de consultas por ETI, SE 2 de 2023
(comparado con 2015-22)



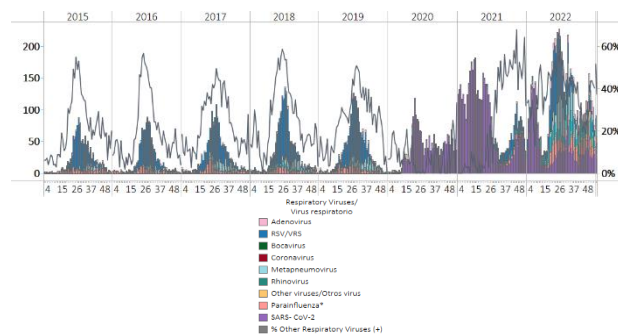
Graph 2. Chile: Influenza, RSV, and SARS-CoV-2, distribution,
(sentinel surveillance) EW 2, 2015-23

Distribución de los virus influenza, VRS y SARS-CoV-2,
(vigilancia centinela) SE 2, 2015-23



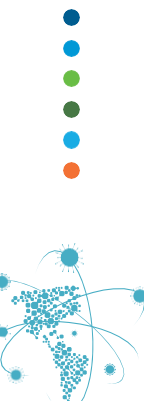
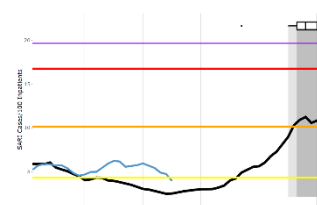
Graph 4. Chile: RSV, SARS-CoV-2, and other respiratory viruses
distribution, (sentinel surveillance) EW 2, 2015-23

Distribución del VRS, SARS-CoV-2 y otros virus respiratorios
(vigilancia centinela) SE 2, 2015-23



Graph 6. Chile: SARI cases/100 hospitalizations (sentinel
surveillance) EW 2, 2023 (compared to 2015-22)

Casos de IRAG/100 hospitalizaciones (vigilancia centinela),
SE 2 de 2023 (comparado con 2015-22)

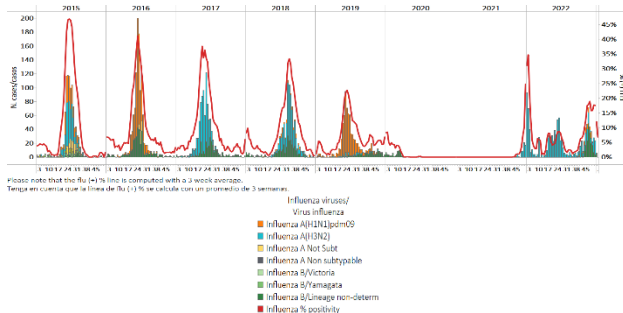




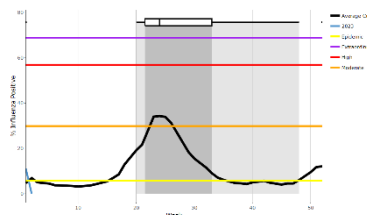
Paraguay

In EW 2 2023, no influenza detections were reported, influenza A(H3N2) viruses circulated in the previous week. Influenza activity was at baseline levels. No RSV detections were registered, although few adenovirus detections were recorded during the reporting period (Graphs 1, 2, and 3). Of 149 samples analyzed for SARS-CoV-2, 7.4% tested positive, with decreasing activity compared to the previously recorded (Graphs 2 and 4). SARI/100 hospitalizations at sentinel sites decreased to baseline levels (Graph 5); ILI cases/1000 outpatients remained unchanged at baseline levels (Graph 6). / En la SE 2 de 2023, no se reportaron detecciones de influenza, los virus influenza A(H3N2) circularon en la semana previa. La actividad de la influenza se ubicó en los niveles basales. No se registraron detecciones de VRS, aunque se reportaron pocas detecciones de adenovirus durante el período del informe (Gráficos 1, 2 y 3). De 149 muestras analizadas para SARS-CoV-2, el 7,4 % resultaron positivas, con una actividad decreciente en comparación con el registro previo (Gráficos 2 y 4). En los sitios centinela el número de casos de IRAG por cada 100 hospitalizaciones disminuyó, ubicándose en niveles basales (Gráfico 5); el número de casos de ETI por cada 1000 pacientes ambulatorios se mantuvo sin cambios en los niveles basales (Gráfico 6).

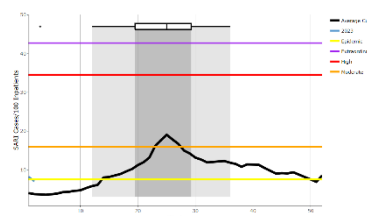
Graph 1. Paraguay: Influenza virus distribution
EW 2, 2015-23
Distribución de virus de influenza,
SE 2, 2015-23



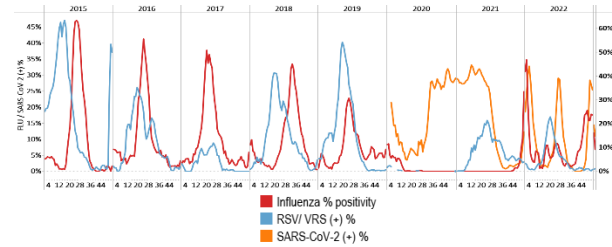
Graph 3. Paraguay: Percent positivity for influenza, EW 2, 2023
(in comparison to 2010-22)
Porcentaje de positividad de influenza, SE 2 de 2023
(comparado con 2010-22)



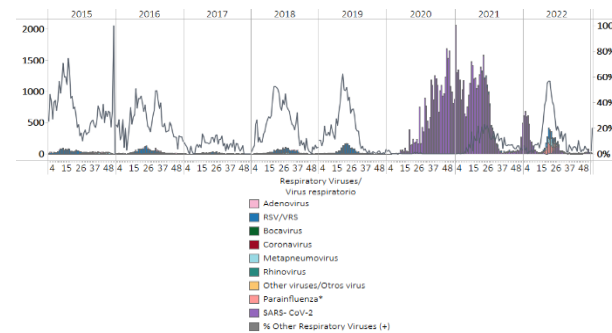
Graph 5. Paraguay: Number of SARI cases / 100 inpatients
EW 2, 2023 (compared to 2015-22)
Número de casos de IRAG / 100 hospitalizaciones, SE 2 de 2023
(comparado con 2015-22)



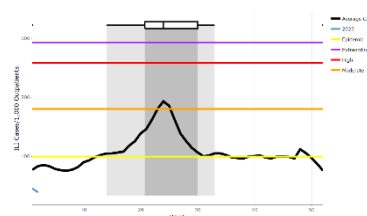
Graph 2. Paraguay: Influenza, RSV, and SARS-CoV-2 distribution,
EW 2, 2015-23
Distribución de los virus influenza, VRS y SARS-CoV-2,
SE 2, 2015-23



Graph 4. Paraguay: RSV, SARS-CoV-2, and other respiratory
viruses distribution, EW 2, 2015-23
Distribución del VRS, SARS-CoV-2 y otros virus respiratorios,
SE 2, 2015-23



Graph 6. Paraguay: ILI cases/1000 outpatients, EW 2, 2023
(compared to 2015-22)
Casos de ETI por cada 1000 consultas ambulatorias, SE 2 de 2023
(comparado con 2015-22)

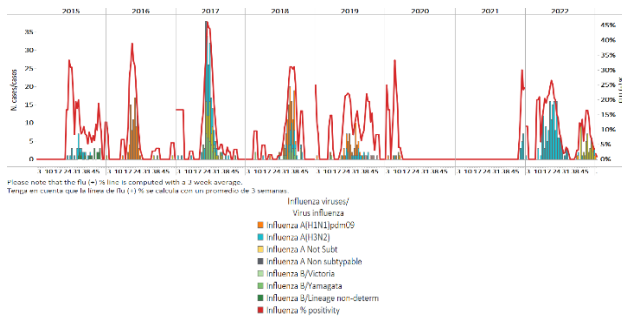




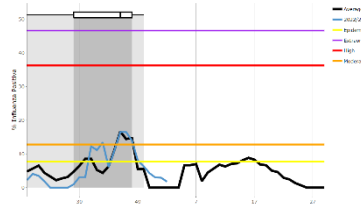
Uruguay

In EW 2 2023, no influenza detections were reported, with the circulation of influenza A(H1N1)pdm09 the previous week. Percent positivity remained above the average of prior seasons at baseline levels (Graphs 1 and 3). No respiratory syncytial virus detections were recorded. Of 70 samples tested for SARS-CoV-2, 30.0% were positive, which decreased compared to the prior week (Graph 2). In addition, SARI cases/100 hospitalizations at sentinel sites remained above the average of previous seasons at a low-intensity level for this time of year (Graph 4). / En la SE 2 2023 no se reportaron detecciones de influenza, con circulación de influenza A(H1N1)pdm09 la semana previa. El porcentaje de positividad se mantuvo por encima del promedio de temporadas anteriores en los niveles basales (Gráficos 1 y 3). No se registraron detecciones de virus respiratorio sincitrial. De 70 muestras analizadas para SARS-CoV-2, el 30,0 % fueron positivas, una disminución en comparación con la semana anterior (Gráfico 2). Además, en los sitios centinela el número de casos de IRAG por cada 100 hospitalizaciones se mantuvo por encima del promedio de temporadas anteriores en un nivel de baja intensidad para esta época del año (Gráfico 4).

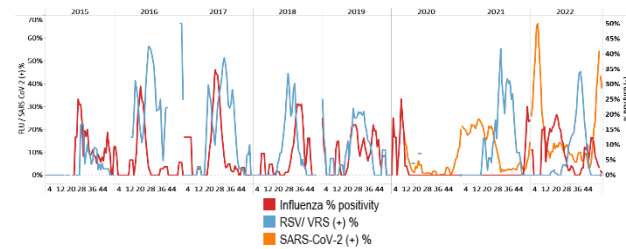
Graph 1. Uruguay: Influenza virus distribution EW 2, 2015-23
Distribución de virus de influenza, SE 2, 2015-23



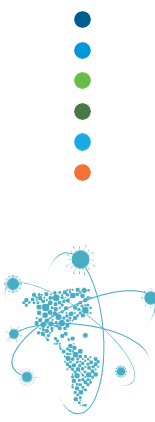
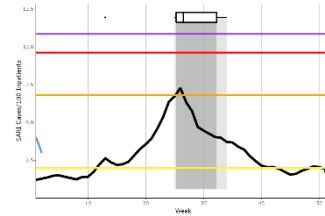
Graph 3. Uruguay: Percent positivity for influenza, EW 2, 2023
(compared to 2010-22)
Porcentaje de positividad de influenza, SE 2 de 2023
(comparado con 2010-22)



Graph 2. Uruguay: Influenza and RSV distribution, EW 2, 2015-23
Distribución de los virus influenza y VRS, SE 2, 2015-23



Graph 4. Uruguay: SARI cases/100 hospitalizations
(sentinel surveillance), EW 2, 2023 (compared to 2017-22)
Casos de IRAG por cada 100 hospitalizaciones (vigilancia centinela),
SE 2 de 2023 (comparado con 2017-22)





TECHNICAL NOTE

Average Curves

Average curves for influenza-like illness (ILI), acute respiratory infection (ARI), pneumonia, and severe acute respiratory infection (SARI) were generated using the WHO Average Curve App.

In the report, the average curve is shown in black and the ongoing season is shown in blue. The average curve shows a typical season in terms of both timing and intensity. The distribution of past seasonal peaks is shown with a boxplot and vertical shading. Thresholds depicting the intensity of activity are shown with colored lines⁶.

Viral distribution by year and epidemiological week

Please note that the percent positivity line of influenza and other respiratory virus is computed with a three (3) week average⁷.

NOTA TÉCNICA

Curvas promedio

Las curvas promedio para la enfermedad tipo influenza (ETI), infección respiratoria aguda (IRA), neumonía e infección respiratoria aguda grave (IRAG) se generaron utilizando la aplicación de Curva promedio de la OMS.

En el informe, la curva promedio se muestra en negro y la temporada en curso se muestra en azul. La curva promedio muestra una temporada típica en términos de tiempo e intensidad. La distribución de los picos estacionales anteriores se muestra con un diagrama de caja y sombreado vertical. Los umbrales que representan la intensidad de la actividad se muestran con líneas de colores⁵.

Distribución de los virus por año y semana epidemiológica

Tenga en cuenta que la línea del porcentaje de positividad para influenza y los otros virus respiratorios se calcula con un promedio de tres (3) semanas⁶.



⁶ WHO (2021), WHO Average Curves software, Version 0.3 (9 Oct 2019), © Copyright World Health Organization (WHO), Geneva.

⁷ World Health Organization. (2013). Global epidemiological surveillance standards for influenza. World Health Organization.
<https://apps.who.int/iris/handle/10665/311268>

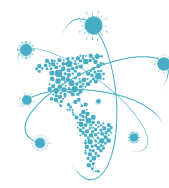


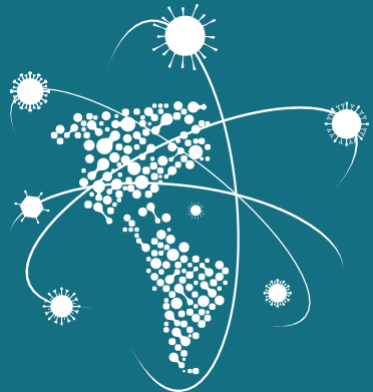
ACRONYMS

ARI	Acute respiratory infection
CARPHA	Caribbean Public Health Agency
EW	Epidemiological week
ILI	Influenza-like illness
NIH	National Institute of Health
ORV	Other respiratory viruses
SARI	Severe acute respiratory infection
ICU	Intensive care unit
RSV	Respiratory syncytial virus

ACRÓNIMOS

CARPHA	Agencia de Salud Pública del Caribe
ETI	Enfermedad tipo influenza
INS	Instituto Nacional de Salud
IRA	Infección respiratoria aguda
IRAG	Infección respiratoria aguda grave
OVR	Otros virus respiratorios
SE	Semana epidemiológica
UCI	Unidad de cuidados intensivos
VRS	Virus respiratorio sincitial





SARI*net* plus

Severe Acute Respiratory Infections Network



Pan American
Health
Organization



World Health
Organization
REGIONAL OFFICE FOR THE Americas

OPS



Organización
Panamericana
de la Salud



Organización
Mundial de la Salud
OFICINA REGIONAL PARA LAS Américas

2023